

## Chapter4 The Continuous-Time Fourier Transform

### 4.0 Introduction

### 4.1 Fourier Series Representation of Periodic Signals

### 4.2 The Continuous-Time Fourier Transform

### 4.3 Properties of the Continuous-Time Fourier Transform

### 4.4 The Fourier Transform for Periodic Signals

### 4.5 Frequency-Domain Analysis of LTI System

### 4.6 System Characterized by Linear Constant-Coefficient Differential Equations

### 4.0 Introduction

### 4.1 Fourier Series Representation of Periodic Signals

### 4.2 The Continuous-Time Fourier Transform

### 4.3 Properties of the Continuous-Time Fourier Transform

### 4.4 The Fourier Transform for Periodic Signals

### 4.5 Frequency-Domain Analysis of LTI System

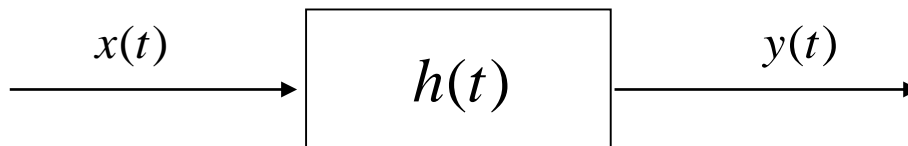
- **Frequency Response**
- **Filtering**
- **Modulating**
- **Sampling**

## 4.5 Frequency-Domain Analysis of LTI System

- **Frequency Response**
- **Filtering**
- **Modulating**
- **Sampling**

### ■ 频率响应

1. 定义



$$y(t) = x(t) * h(t)$$

设  $x(t) \leftrightarrow X(j\omega)$   $y(t) \leftrightarrow Y(j\omega)$

$$H(j\omega) = \int_{-\infty}^{\infty} h(t)e^{-j\omega t} dt$$

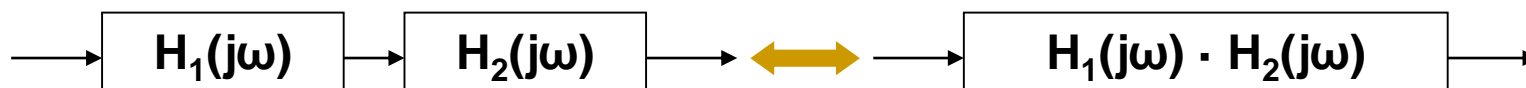
—frequency response  
(频率响应)

则

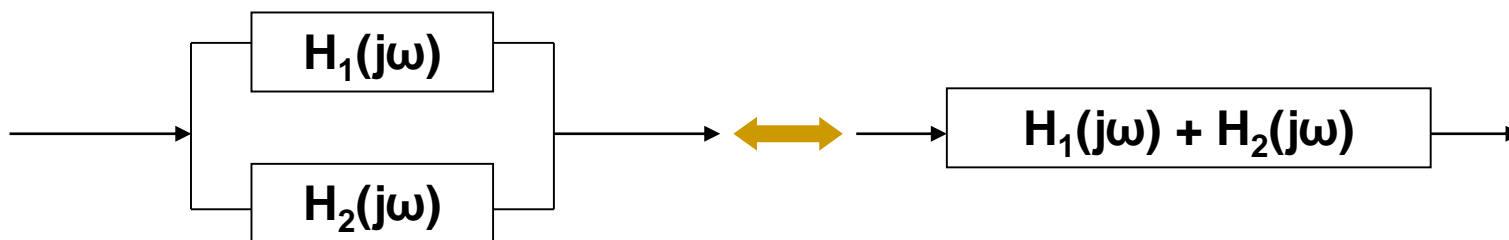
$$Y(j\omega) = X(j\omega)H(j\omega) \quad H(j\omega) = \frac{Y(j\omega)}{X(j\omega)}$$

注:  $H(j\omega)$  存在条件  $\int_{-\infty}^{\infty} |h(t)| dt < \infty$  此时所描述的 LTI 系统是稳定的

### 2. $H(j\omega)$ 可完全描述一个（稳定的）LTI系统



注：级联系统的频率响应等于各自系统频率响应的乘积



注：并联系统的频率响应等于各自系统频率响应之和

### 3. $H(j\omega)$ 一般为复数

$$H(j\omega) = |H(j\omega)| e^{j\angle H(j\omega)}$$

For LTI system

$$\because Y(j\omega) = X(j\omega) \cdot H(j\omega)$$

$$\therefore |Y(j\omega)| = |X(j\omega)| \cdot |H(j\omega)|$$

$$\angle Y(j\omega) = \angle X(j\omega) + \angle H(j\omega)$$

- $H(j\omega)$ 给出输入的任意频率分量经过LTI系统后幅度和相位的改变量
- $|H(j\omega)|$ 为系统增益(gain of system)
- $\angle H(j\omega)$ 为系统相移(phase shift of system)

①  $x(t)$ 为复指数信号

$$x(t) = e^{j\omega_0 t} \rightarrow y(t) = H(j\omega) \big|_{\omega=\omega_0} e^{j\omega_0 t}$$

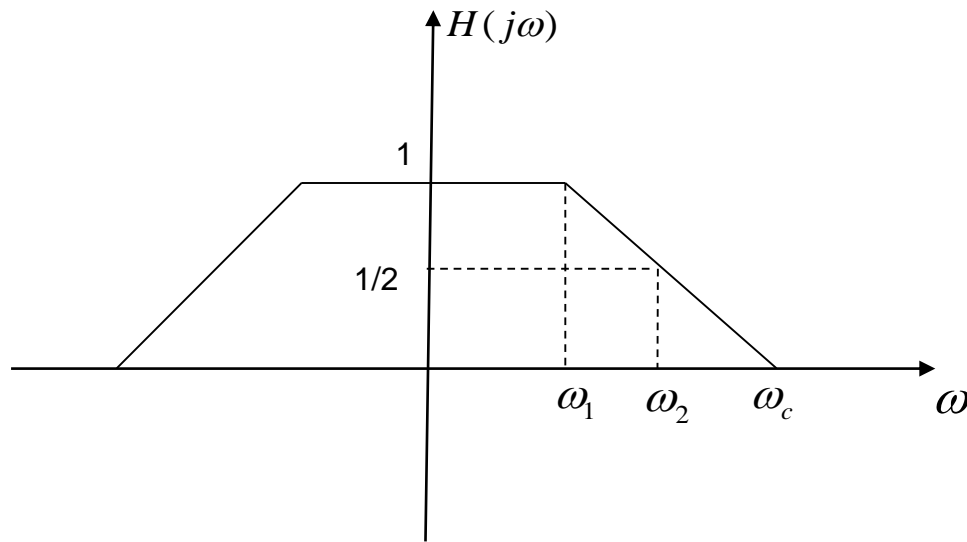
Proof:  $x(t) = e^{j\omega t} \Rightarrow y(t) = \int_{-\infty}^{\infty} h(\tau) e^{j\omega(t-\tau)} d\tau$

$$= \int_{-\infty}^{\infty} h(\tau) e^{-j\omega\tau} d\tau \cdot e^{j\omega t} = H(j\omega) e^{j\omega t}$$

LTI对复指数的响应仍是同频率的复指数信号，只是幅度和相位发生改变，改变量取决于 $H(j\omega)$ 在该频率的模值和相位。

$e^{j\omega t}$  ——特征函数(eigenfunction),  $H(j\omega)$ 为其特征值(eigenvalue)

Example:



if  $x(t) = 1 + e^{j\omega_1 t} + e^{j\omega_2 t} + e^{j\omega_c t}$

根据  $x(t) = e^{j\omega_0 t} \rightarrow y(t) = H(j\omega) \big|_{\omega=\omega_0} e^{j\omega_0 t}$

then  $y(t) = 1 + 1 \cdot e^{j\omega_1 t} + \frac{1}{2} \cdot e^{j\omega_2 t} + 0 \cdot e^{j\omega_c t}$



## Signal and System

Example: Consider a LTI system with  $h(t) = e^{-t}u(t)$ , If the input  $x(t) = \sin(t)$ , determine the output  $y(t)$

$$x(t) = \sin(\omega_0 t) = \frac{e^{j\omega_0 t} - e^{-j\omega_0 t}}{2j}$$

$$\Rightarrow y(t) = \frac{1}{2j} H(j\omega_0) e^{j\omega_0 t} - \frac{1}{2j} H(-j\omega_0) e^{-j\omega_0 t}$$

$$= \frac{1}{2j} |H(j\omega_0)| e^{j\omega_0 t + j\angle H(j\omega_0)} - \frac{1}{2j} |H(-j\omega_0)| e^{-j\omega_0 t + j\angle H(-j\omega_0)}$$

$\because h(t)$  real

$$\therefore y(t) = \frac{1}{2j} |H(j\omega_0)| e^{j\omega_0 t + j\angle H(j\omega_0)}$$

$$- \frac{1}{2j} |H(j\omega_0)| e^{-j\omega_0 t - j\angle H(j\omega_0)}$$

$$= |H(j\omega_0)| \sin(\omega_0 t + \angle H(j\omega_0))$$

$$\because h(t) = e^{-t}u(t) \leftrightarrow H(j\omega) = \frac{1}{1 + j\omega}$$

$$\Rightarrow |H(j\omega)| = \frac{1}{\sqrt{1 + \omega^2}} \quad \angle H(j\omega) = \tan^{-1}(-\omega)$$

$$\therefore y(t) = |H(j\omega)|_{\omega=1} \sin(t + \angle H(j\omega)|_{\omega=1})$$

$$= \frac{1}{\sqrt{2}} \sin(t - 45^\circ)$$

②  $x(t)$ 为任意信号

$$\begin{aligned}x(t) &= \frac{1}{2\pi} \int_{-\infty}^{\infty} X(j\omega) e^{j\omega t} d\omega = \lim_{\omega_0 \rightarrow 0} \frac{1}{2\pi} \sum_{k=-\infty}^{\infty} X(jk\omega_0) e^{jk\omega_0 t} \omega_0 \\ \Rightarrow y(t) &= \lim_{\omega_0 \rightarrow 0} \frac{1}{2\pi} \sum_{k=-\infty}^{\infty} X(jk\omega_0) H(jk\omega_0) e^{jk\omega_0 t} \omega_0 \\ &= \frac{1}{2\pi} \int_{-\infty}^{\infty} X(j\omega) H(j\omega) e^{j\omega t} d\omega = \frac{1}{2\pi} \int_{-\infty}^{\infty} Y(j\omega) e^{j\omega t} d\omega\end{aligned}$$

$$x(t) \rightarrow \boxed{h(t) \leftrightarrow H(j\omega)} \rightarrow y(t)$$
$$= \frac{1}{2\pi} \int X(j\omega) e^{j\omega t} d\omega \quad = \frac{1}{2\pi} \int X(j\omega) H(j\omega) e^{j\omega t} d\omega$$

$x(t) = \frac{1}{2\pi} \int X(j\omega) e^{j\omega t} d\omega$ ，就是将 $x(t)$ 分解成 $e^{j\omega t}$ 的“线性组合”，  
*LTI*系统就是对 $x(t)$ 的各频率分量的幅度加权( $|H(j\omega)|$ )，同时对各  
频率分量产生各自的相移( $\angle H(j\omega)$ )。在输出端再对改变后的各频率  
分量“合成”，就得到系统的响应 $y(t) = \frac{1}{2\pi} \int X(j\omega) H(j\omega) e^{j\omega t} d\omega$   
 $= \frac{1}{2\pi} \int Y(j\omega) e^{j\omega t} d\omega$

### ■ 无失真传输

- 无失真传输(Distortionless Transmission)  
——输出与输入相比，只有幅度大小和出现时间先后的不同，波形形状未发生改变

$$\because y(t) = Kx(t - t_0)$$

$$\therefore H(j\omega) = \frac{Y(j\omega)}{X(j\omega)} = Ke^{-j\omega t_0}$$

$$\leftrightarrow h(t) = K\delta(t - t_0)$$

无失真传输的条件:

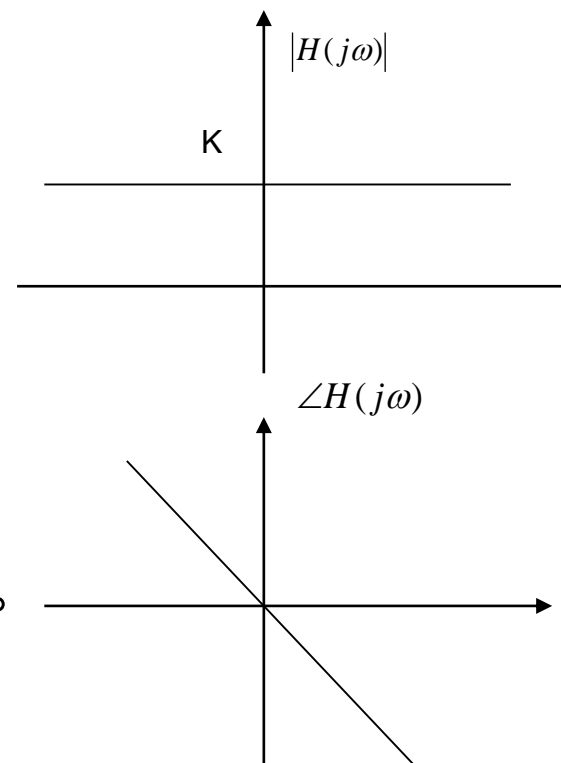
$$\begin{cases} |H(j\omega)| = K \\ \angle H(j\omega) = -\omega t_0 \end{cases}$$

即, 无失真传输就是传输信号的各项频率分量的幅度获得相同的增益, 且各频率分量的相移是频率的线性函数。

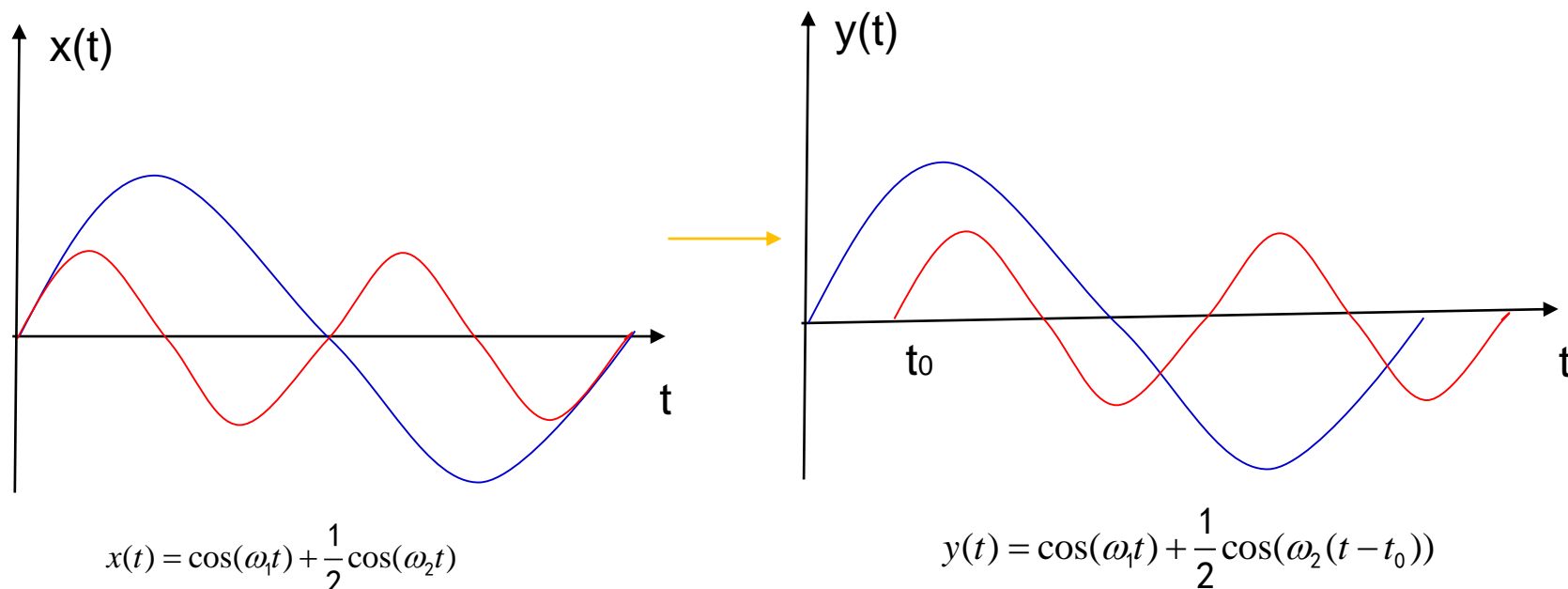
此时, 群延时(group delay)为:

$$\tau = -\frac{d}{d\omega} \{\angle H(j\omega)\} = t_0$$

即, 输入的所有频率分量经过无失真传输后具有相同的时移!



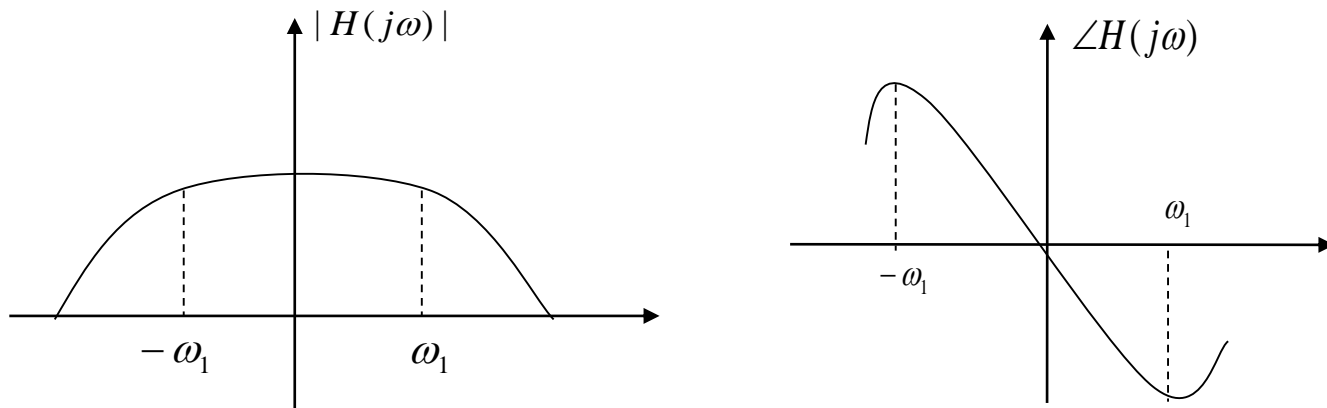
- 失真
  - 幅度失真，系统对各频率分量的幅度产生不同程度衰减，使各频率分量的相对幅度发生改变。
  - 相位失真，系统对各频率分量的相移不是频率的线性函数，使输出的各频率分量在时间轴上的相对位置发生改变。



e.g. 相位失真

- 实际系统不要求在整个频率轴上满足无失真传输条件，只要在信号频率范围内近似满足即可。

例：



### ■ 其它常见系统的频率响应

① 延时器

$$\because y(t) = x(t - t_0)$$

$$\therefore Y(j\omega) = X(j\omega)e^{-j\omega t_0}$$

$$H(j\omega) = \frac{Y(j\omega)}{X(j\omega)} = e^{-j\omega t_0}$$

② 微分器

$$\because y(t) = \frac{dx(t)}{dt}$$

$$\therefore Y(j\omega) = j\omega \cdot X(j\omega)$$

$$H(j\omega) = \frac{Y(j\omega)}{X(j\omega)} = j\omega$$



### ③ 积分器

$$\because y(t) = \int_{-\infty}^t x(\tau) d\tau$$

$$\therefore Y(j\omega) = \frac{X(j\omega)}{j\omega} + \pi X(0)\delta(\omega)$$

$$H(j\omega) = \frac{Y(j\omega)}{X(j\omega)} = \frac{1}{j\omega} + \pi\delta(\omega)$$

if  $X(0) = \int x(t)dt = 0$  then

$$H(j\omega) = \frac{1}{j\omega}$$

一些常见系统的 $h(t)$ 和 $H(j\omega)$

	$h(t)$	$H(j\omega)$
id	$\delta(t)$	1
$\tau_{t_0}$	$\delta(t - t_0)$	$e^{-j\omega t_0}$
$\frac{d}{dt}$	$\delta'(t)$	$j\omega$
$\int_{-\infty}^t$	$u(t)$	$\frac{1}{j\omega} + \pi\delta(\omega)$
ideal lowpass	$\frac{\sin(\omega_c t)}{\pi t}$	$u(\omega + \omega_c) - u(\omega - \omega_c)$
1st order lowpass	$\frac{1}{\tau} e^{-t/\tau} u(t)$	$\frac{1}{1 + j\tau\omega}$

## 4.5 Frequency-Domain Analysis of LTI System

- Frequency Response
- Filtering
- Modulating
- Sampling

### ■ Filtering (滤波)

— 改变信号中各频率分量的相对大小或完全消除某些频率分量

#### ● Frequency-shaping Filters (频率成形滤波器)

— 改变信号频谱形状的LTI系统

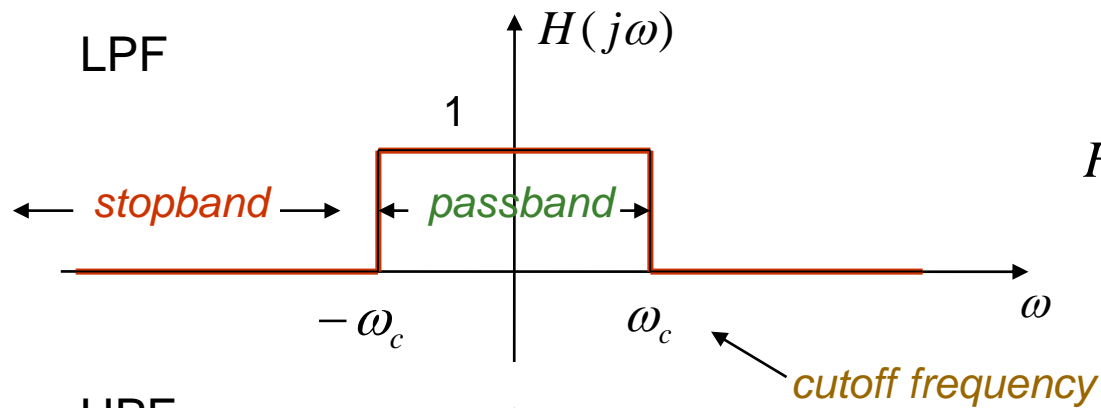
例：音响系统

- **Frequency-Selective Filters**（频率选择滤波器）

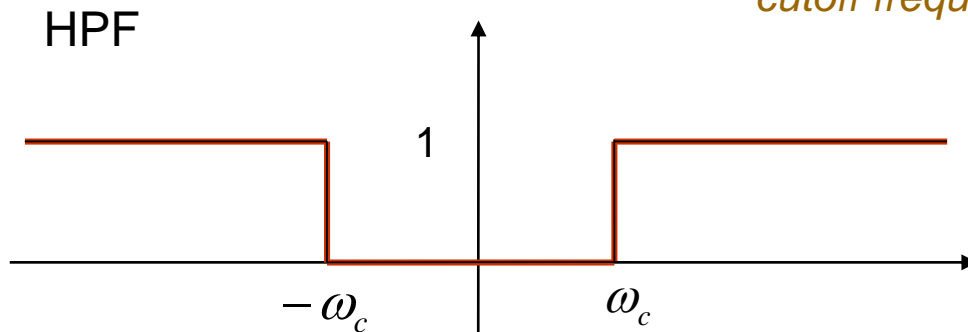
—让某些频率分量无失真通过，消除另一些频率分量的LTI系统

具有理想特性的频率选择性滤波器：

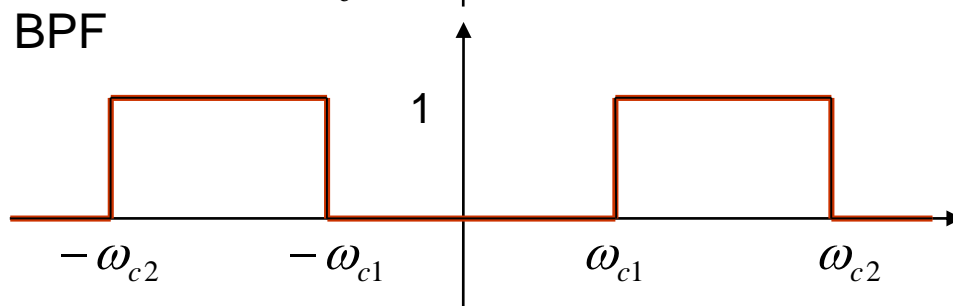
- LPF(Lowpass Filter)
- HPF(Highpass Filter)
- BPF(Bandpass Filter)



$$H(j\omega) = \begin{cases} 1, & |\omega| \leq \omega_c \\ 0, & |\omega| > \omega_c \end{cases}$$

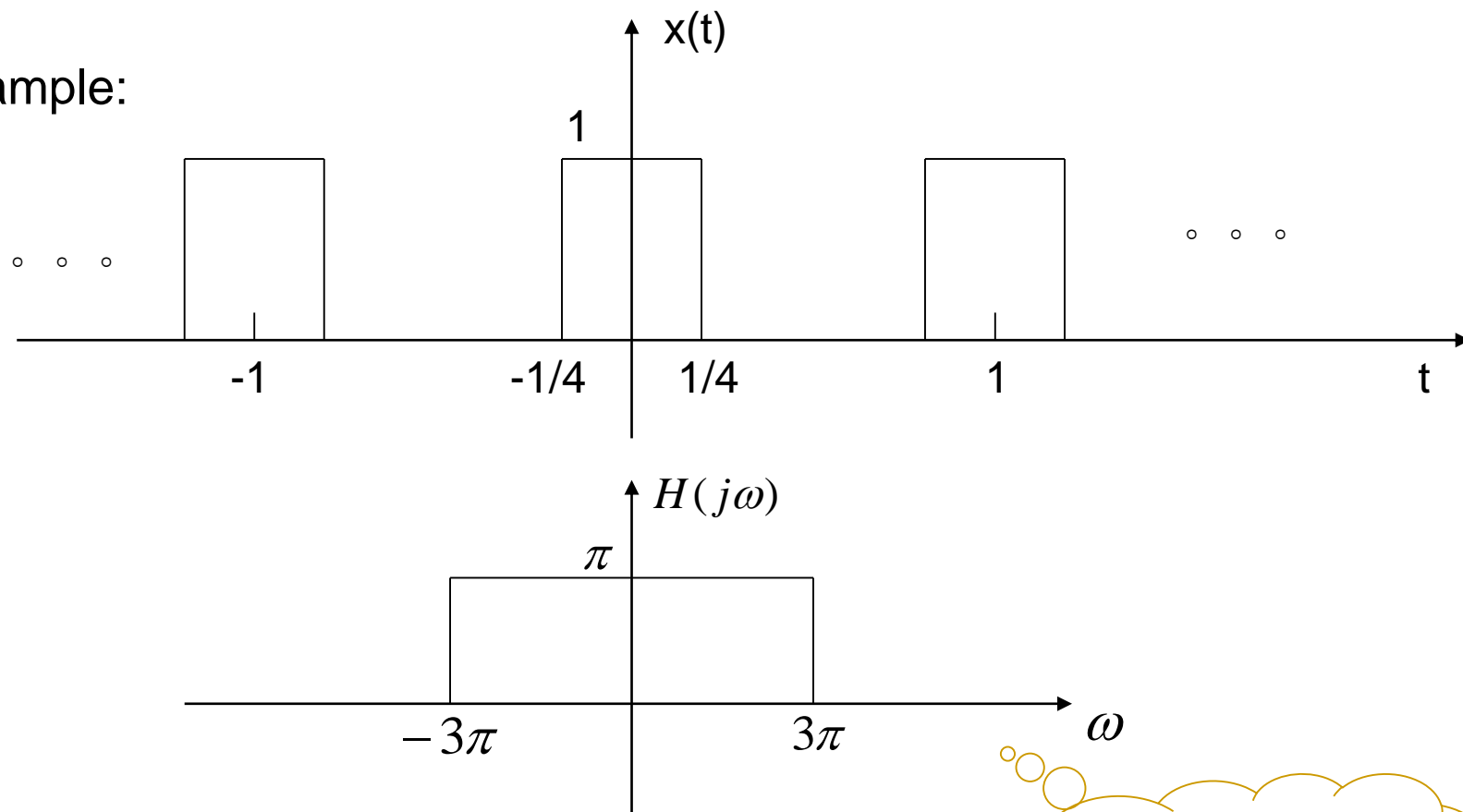


$$H(j\omega) = \begin{cases} 1, & |\omega| > \omega_c \\ 0, & |\omega| \leq \omega_c \end{cases}$$



$$H(j\omega) = \begin{cases} 1, & \omega_{c1} < |\omega| < \omega_{c2} \\ 0, & |\omega| \leq \omega_{c1}, |\omega| \geq \omega_{c2} \end{cases}$$

Example:



求信号 $x(t)$ 经过如图LPF的输出 $y(t)$

注： $H(j\omega)$ 的  
物理意义！

Solution:  $\because \omega_0 = 2\pi$

$\therefore$  只有 $x(t)$ 的直流和一次谐波经过 $H(j\omega)$ 后有输出

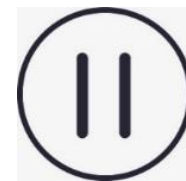
$$\therefore a_k = \frac{\sin(k\omega_0 T_1)}{k\pi} = \frac{\sin(k\frac{\pi}{2})}{k\pi}$$

$$\therefore a_1 = a_{-1} = \frac{1}{\pi} \quad a_0 = \frac{1}{2}$$

$$x(t) = \frac{1}{2} + \frac{1}{\pi} e^{j2\pi t} + \frac{1}{\pi} e^{-j2\pi t} + \dots$$

经过 $H(j\omega)$ 后

$$y(t) = \pi \cdot \frac{1}{2} + \pi \cdot \frac{1}{\pi} e^{j2\pi t} + \pi \cdot \frac{1}{\pi} e^{-j2\pi t} = \frac{\pi}{2} + 2\cos 2\pi t$$





Example: 求信号经过如图 $H(j\omega)$ 的输出

1、  $x(t) = e^{jt}$

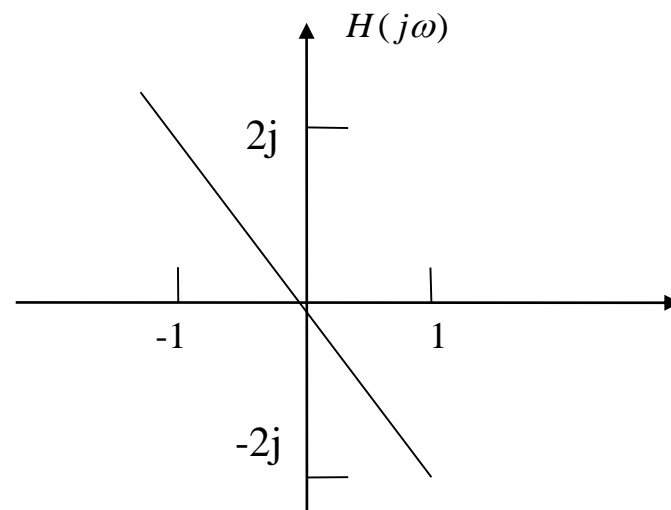
$\because H(j\omega)$ 为微分器

$$\therefore y(t) = -2 \frac{dx(t)}{dt} = -2je^{jt}$$

2、  $X(j\omega) = \frac{1}{(j\omega)(6 + j\omega)}$

$$\therefore Y(j\omega) = X(j\omega)H(j\omega) = \frac{1}{6 + j\omega}$$

$$\therefore y(t) = -2e^{-6t}u(t)$$



$$H(j\omega) = -2j\omega$$

注：时域or频域  
求解！

Example: 设 $x(t)$ 为周期等于1, 经半波整流的正弦波, 即

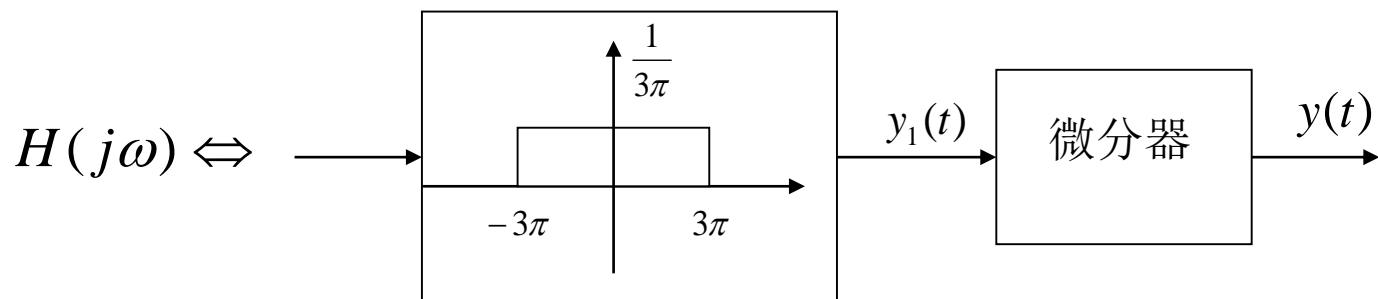
$$x(t) = \begin{cases} \sin 2\pi t, m \leq t \leq (m + \frac{1}{2}) \\ 0, (m + \frac{1}{2}) \leq t \leq m + 1 \end{cases}, m \text{为整数}$$

求 $x(t)$ 经过 $x(t) = \begin{cases} \sin 2\pi t, m \leq t \leq (m + \frac{1}{2}) \\ 0, (m + \frac{1}{2}) \leq t \leq m + 1 \end{cases}$ 的输出 $y(t)$

Solution:

$$x(t) \leftrightarrow 2\pi \sum_k a_k \delta(\omega - k\omega_0), \omega_0 = \frac{2\pi}{T} = 2\pi$$

所以  $x(t)$  包含的频率分量  $0, \pm 2\pi, \pm 4\pi, \dots$



仅  $x(t)$  的直流和一次谐波分量在LPF的通带内，考虑到微分器，只需求一次谐波经过LPF的输出。

$$\because a_1 = \int_0^{1/2} \sin 2\pi t e^{-j2\pi t} dt = \frac{1}{4j}$$

$$a_{-1} = \int_0^{1/2} \sin 2\pi t e^{+j2\pi t} dt = -\frac{1}{4j}$$

$\therefore$  LPF的输出

$$y_1(t) = \frac{1}{3\pi} \left[ \frac{1}{4j} e^{j2\pi t} - \frac{1}{4j} e^{-j2\pi t} \right] = \frac{1}{6\pi} \sin 2\pi t$$

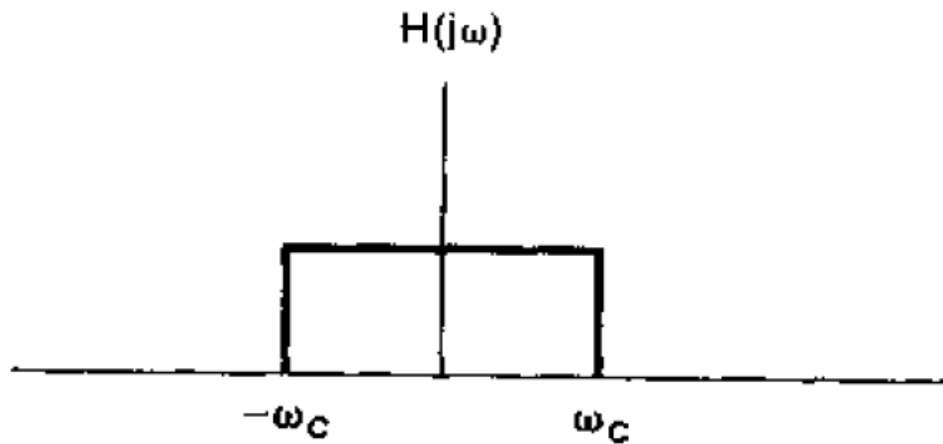
经过微分后

$$y(t) = \frac{dy_1(t)}{dt} = \frac{1}{3} \cos 2\pi t$$



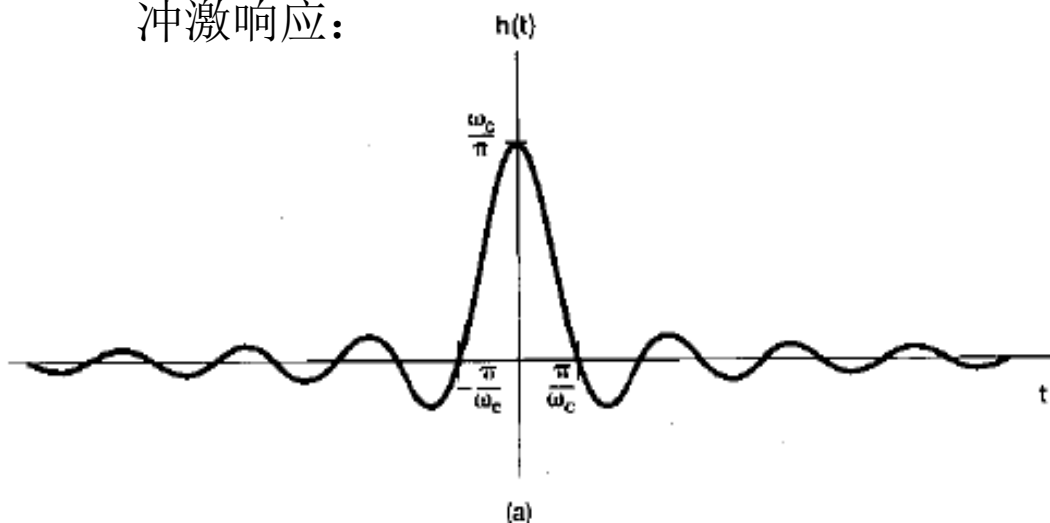
### ■ Time- and Frequency- Domain Aspects of Filter

- 具有零相位的理想特性的LPF



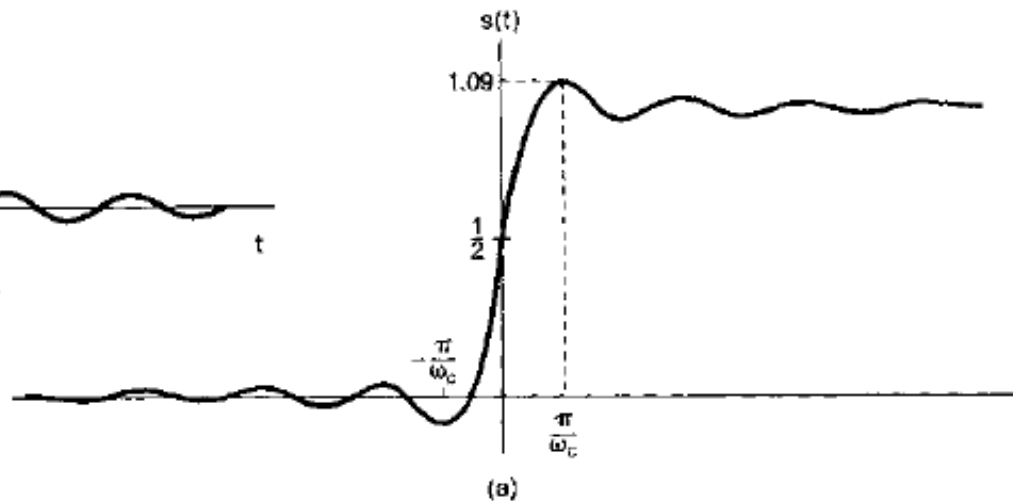
$$H(j\omega) = \begin{cases} 1, & |\omega| < \omega_c \\ 0, & |\omega| > \omega_c \end{cases}$$

冲激响应:



$$\begin{aligned} h(t) &= \frac{\sin \omega_c t}{\pi t} \\ &= \frac{\omega_c}{\pi} \text{Sa}(\omega_c t) \end{aligned}$$

阶跃响应:



$$s(t) = \frac{1}{2} + \frac{1}{\pi} \text{Si}(\omega_c t)$$

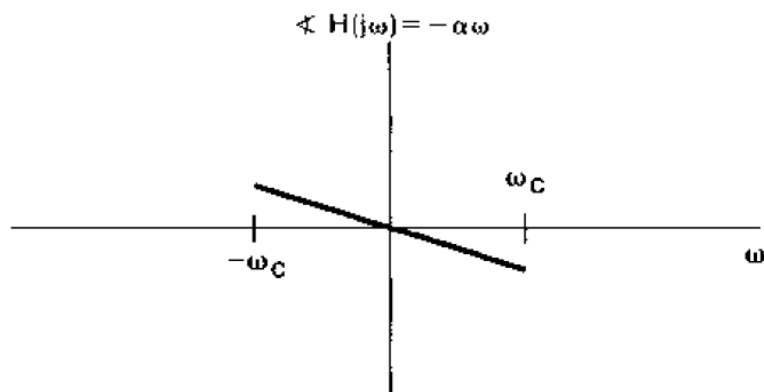
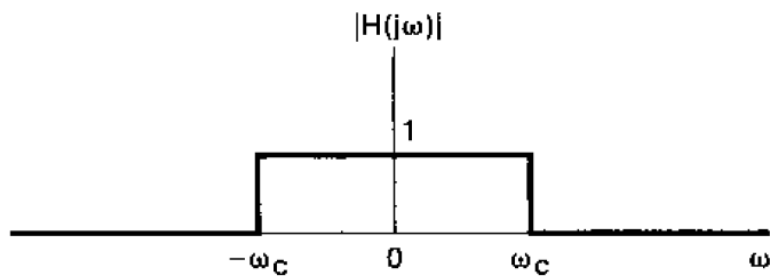
注:  $\text{Si}(y) = \int_0^y \frac{\sin x}{x} dx$  — 正弦积分

理想的LPF具有完美的频率选择特性，但存在如下问题：

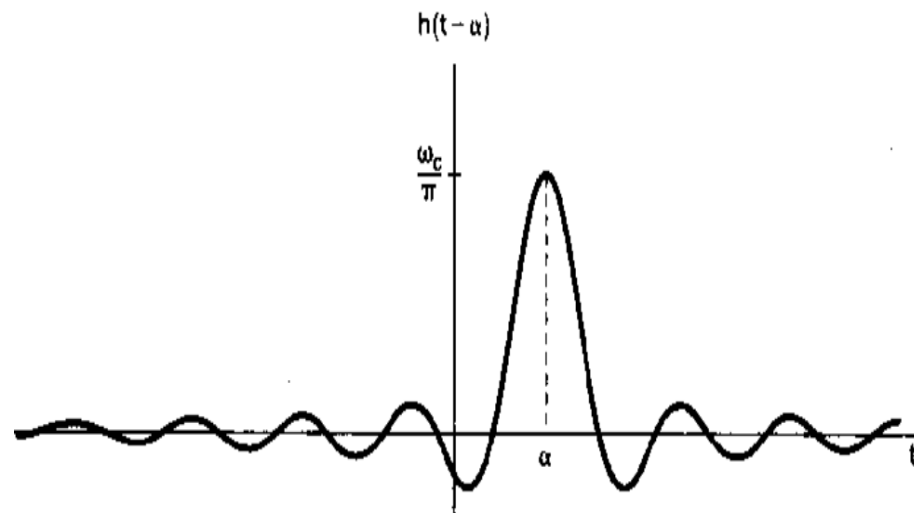
- $h(t)$ 非因果，存在振荡
- $s(t)$ 存在过冲和振荡

- 具有线性相位的理想特性的LPF

$$H(j\omega) = e^{-j\omega\alpha}, \quad |\omega| \leq \omega_c$$



冲激响应:



$$h(t) = \frac{\sin \omega_c (t - \alpha)}{\pi(t - \alpha)}$$





- 理想特性实现的可能性?
- 是否需要理想特性的滤波器?



- 非理想特性的LPF

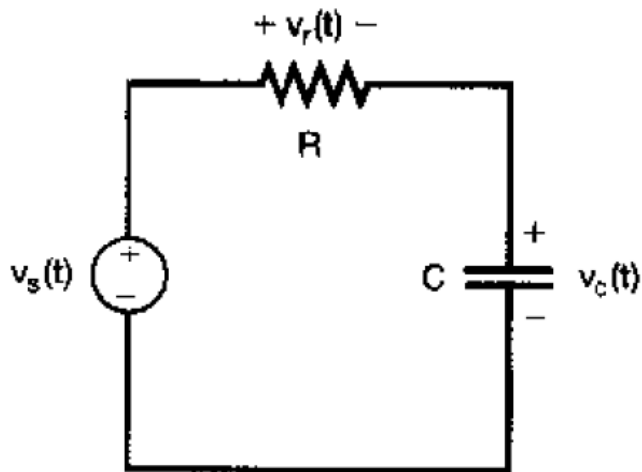
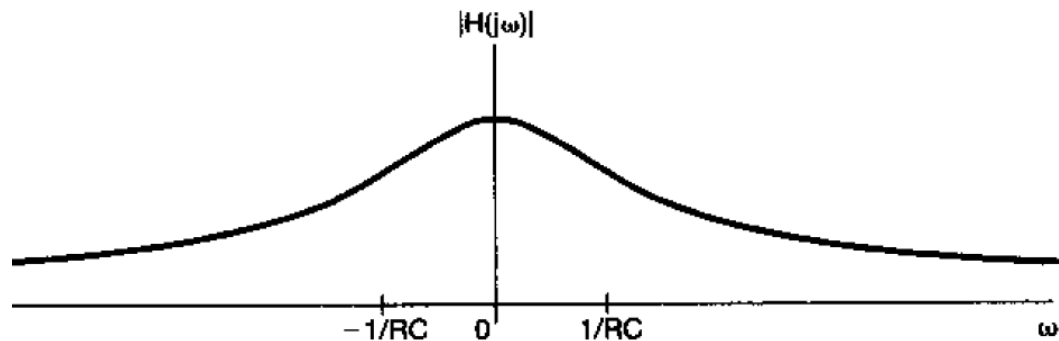


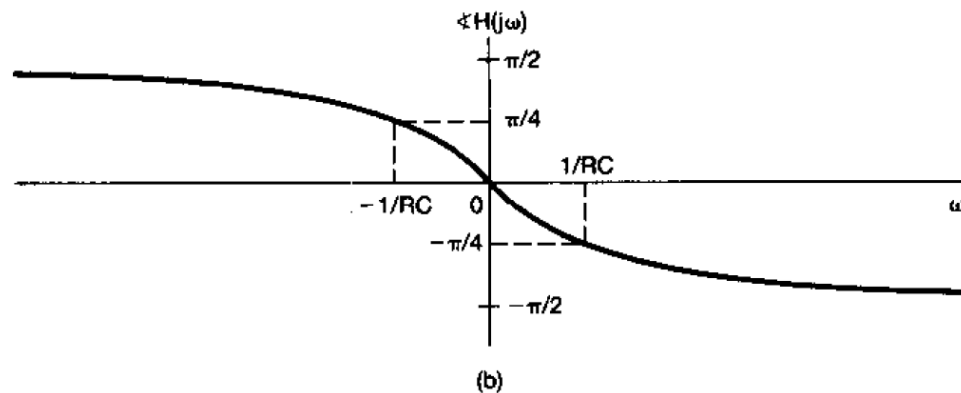
图 3.29 一阶 RC 滤波器

$$H(j\omega) = \frac{\alpha}{\alpha + j\omega}, \quad \alpha = \frac{1}{RC}$$



(a)

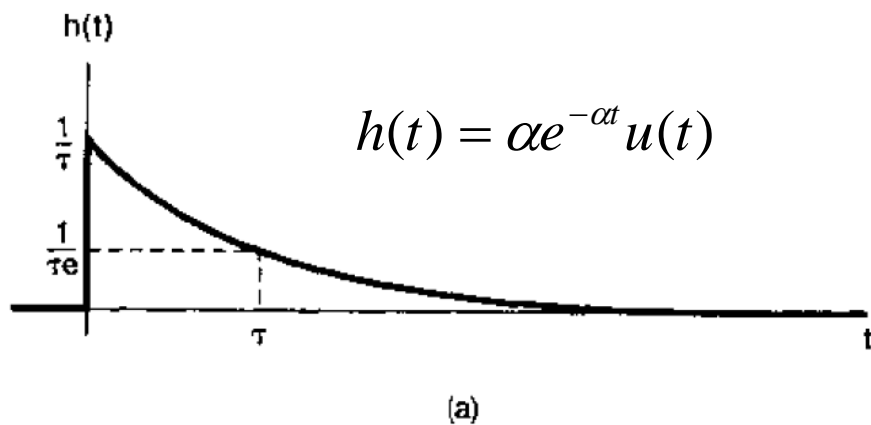
$$|H(j\omega)| = \frac{\alpha}{\sqrt{\alpha^2 + \omega^2}}$$



(b)

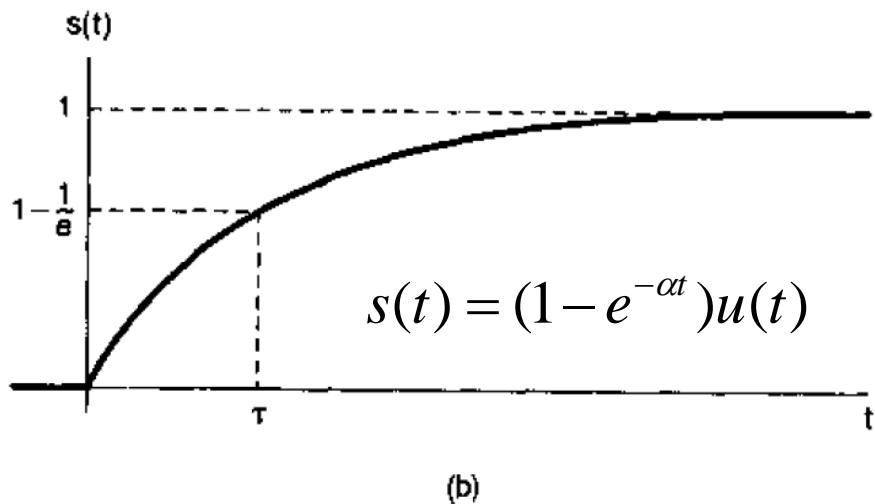
$$\angle H(j\omega) = \tan^{-1}\left(\frac{\omega}{\alpha}\right)$$

冲激响应:

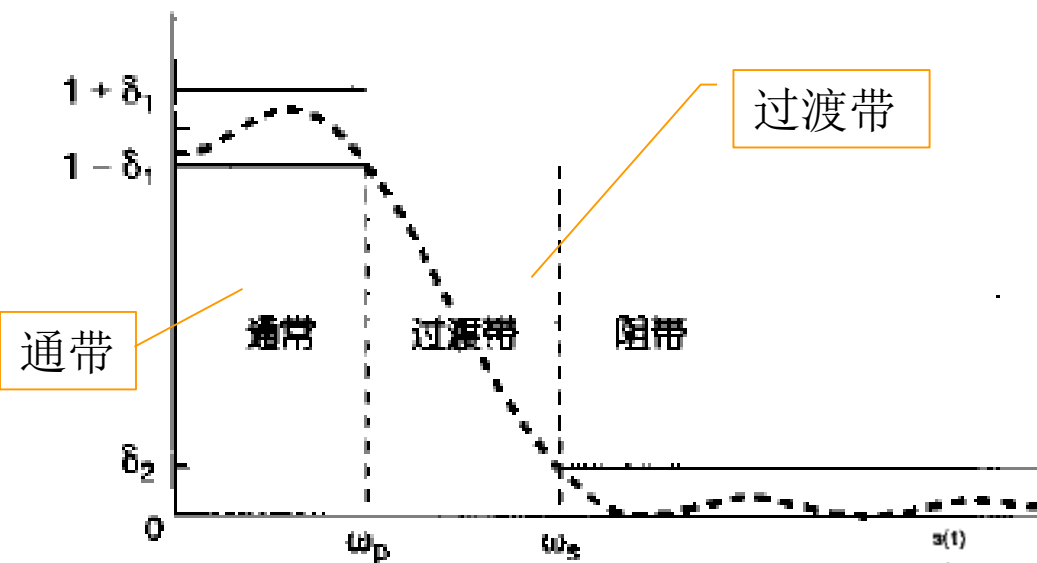


- $h(t)$ 是因果的, 单调衰减
- $s(t)$ 无过冲和振荡

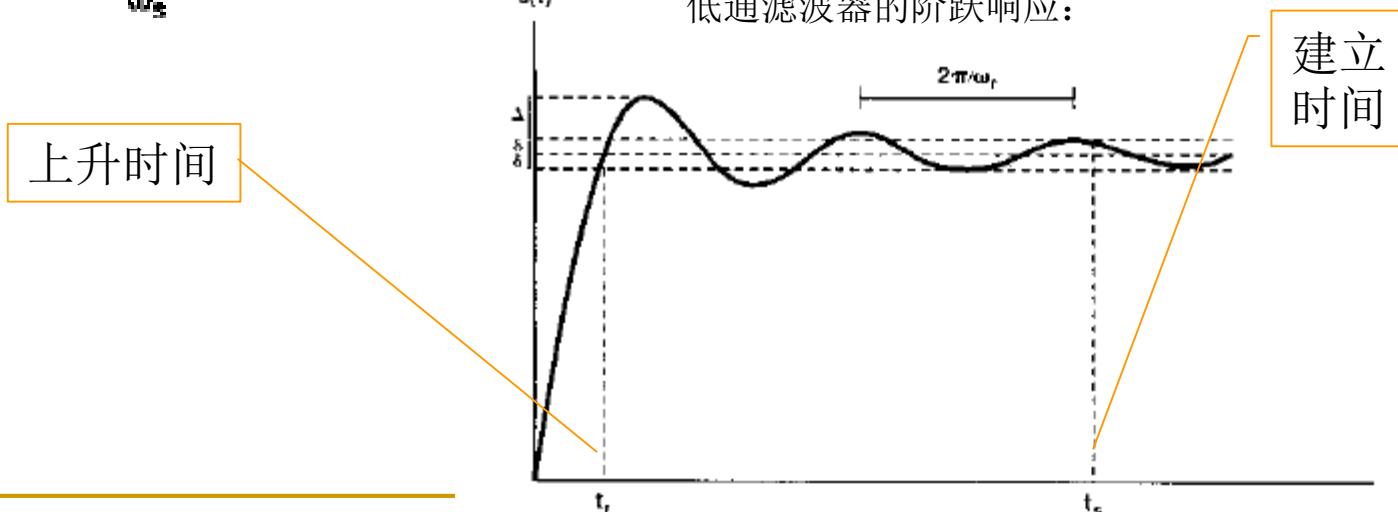
阶跃响应:



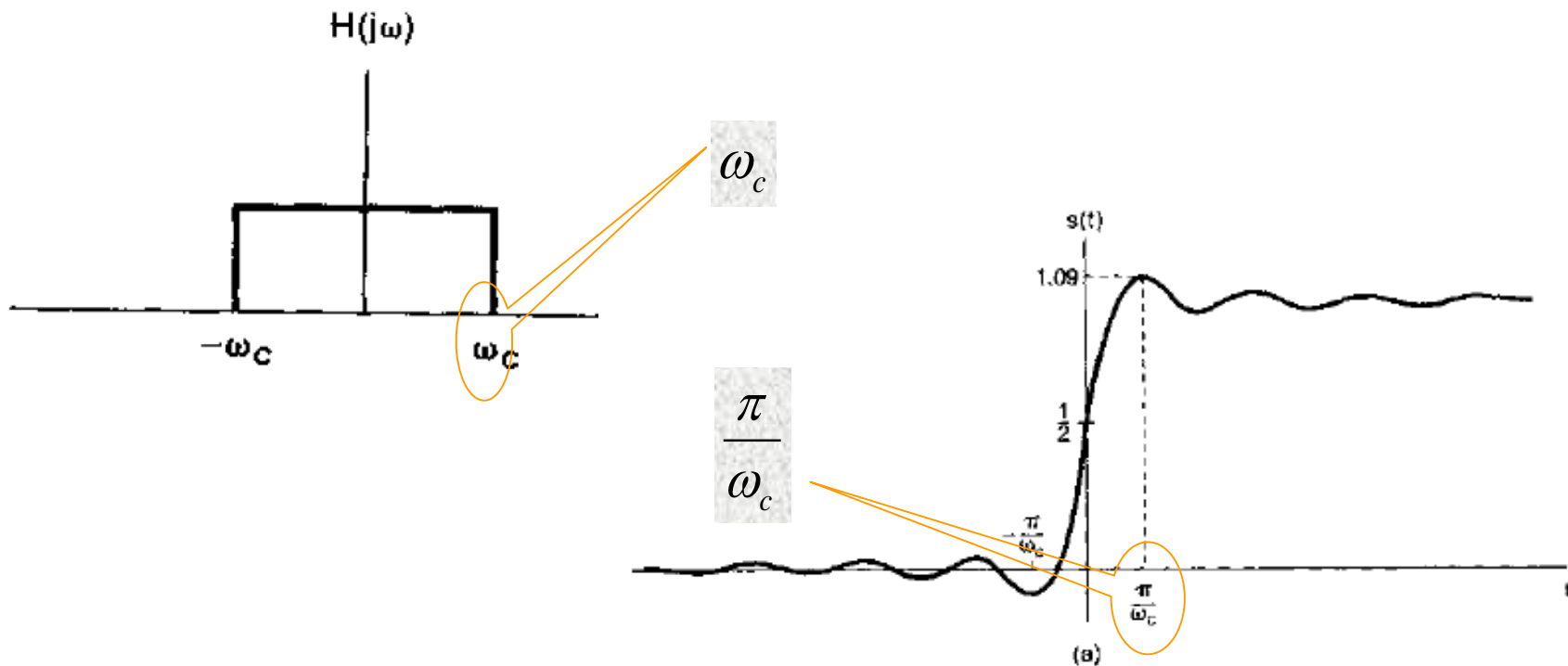
$|H(j\omega)|$  低通滤波器的幅频特性:



低通滤波器的阶跃响应:



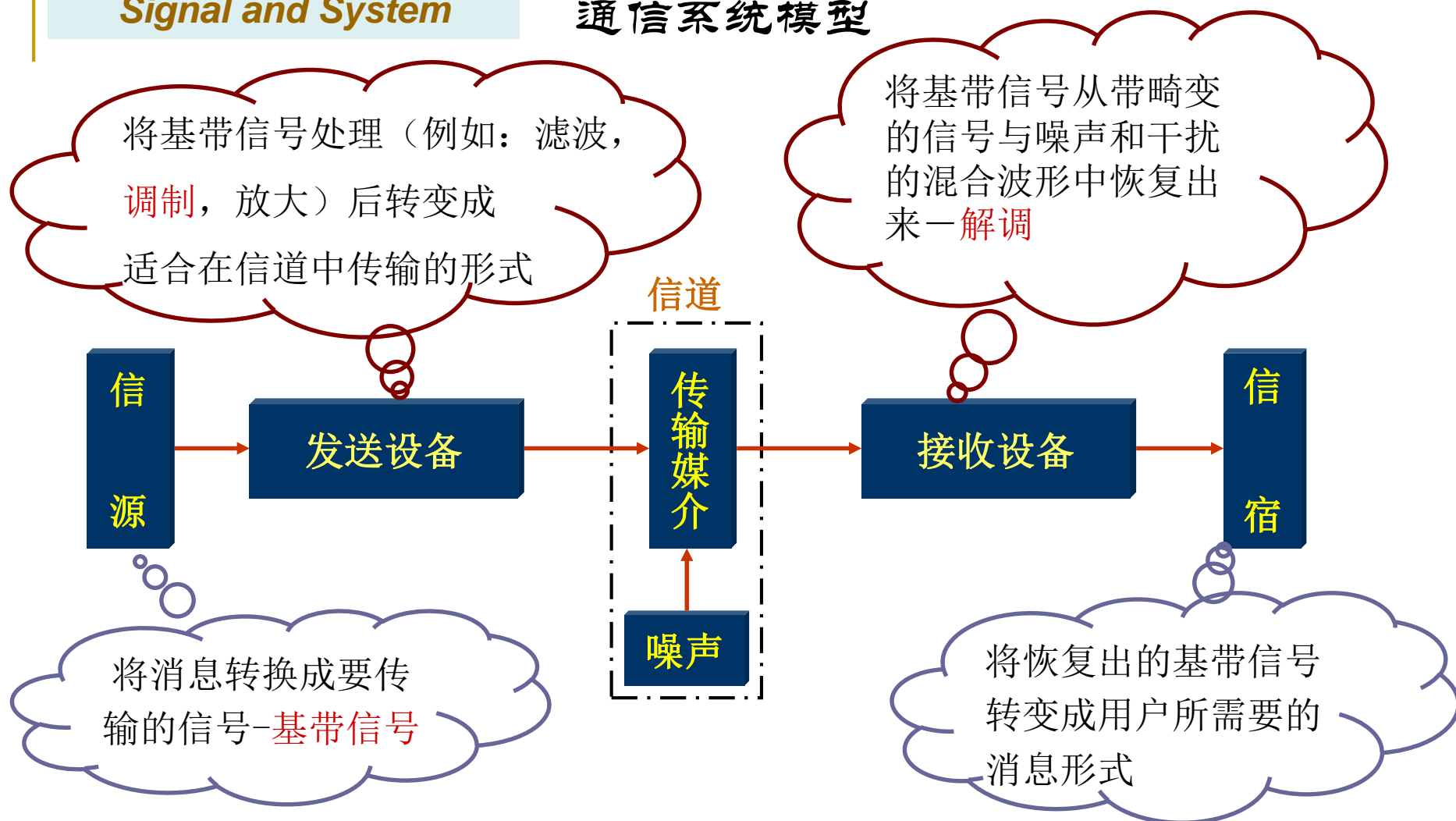
注：设计滤波器时要综合考虑系统的时域和频域特性



例如：上升时间与通带宽度的折衷，建立时间与过渡带宽度的折衷

### 4.5 Frequency-Domain Analysis of LTI System

- Frequency Response
- Filtering
- **Modulating**
- Sampling



- 注：
- 不同的传输媒质具有不同的传输特性（例如：同轴电缆、光纤、无线空间）
  - 信道带宽有限会使传输信号发生畸变，同时叠加干扰和噪声

关于调制/解调：

- 调制的作用：将要传输的基带信号转换成适合在信道中传输的信号
- 调制的实现：使载波的某个参量随基带信号的改变而改变
- 调制的分类：
  - 幅度调制-载波幅度随基带信号改变
  - 角度调制-载波的频率/相位随基带信号改变
- 解调是调制的逆过程，将基带信号从接收到的信号中恢复出来

说明：

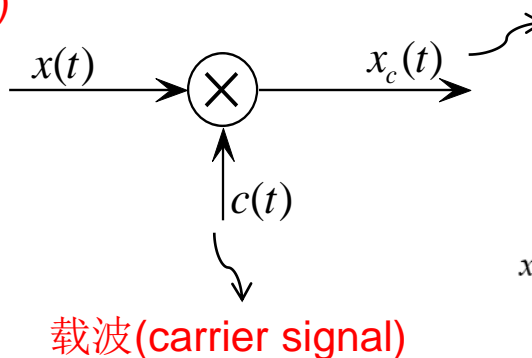
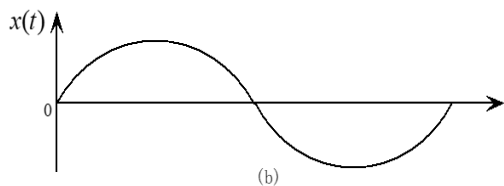
- 基带信号：由信源产生的信号，一般为低频信号（例如：语音）
- 载波：正/余弦信号，周期脉冲信号等，一般具有较高的频率（例如： $A\cos(\omega_c t + \theta)$ ）



### ■ 双边带 (DSB) 调制

—double-sidebands(DSB) sinusoidal amplitude modulation

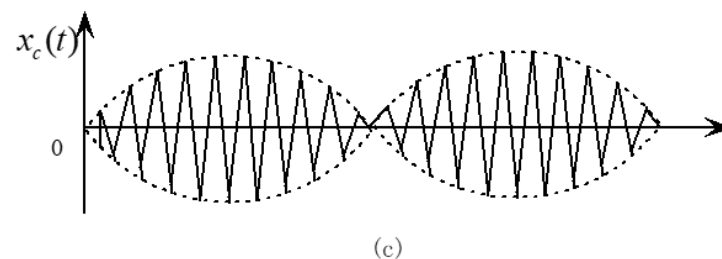
调制信号 (modulating signal)



载波(carrier signal)

已调信号 (modulated signal)

$$x_c(t) = x(t) \cos \omega_c t$$



## • Modulation

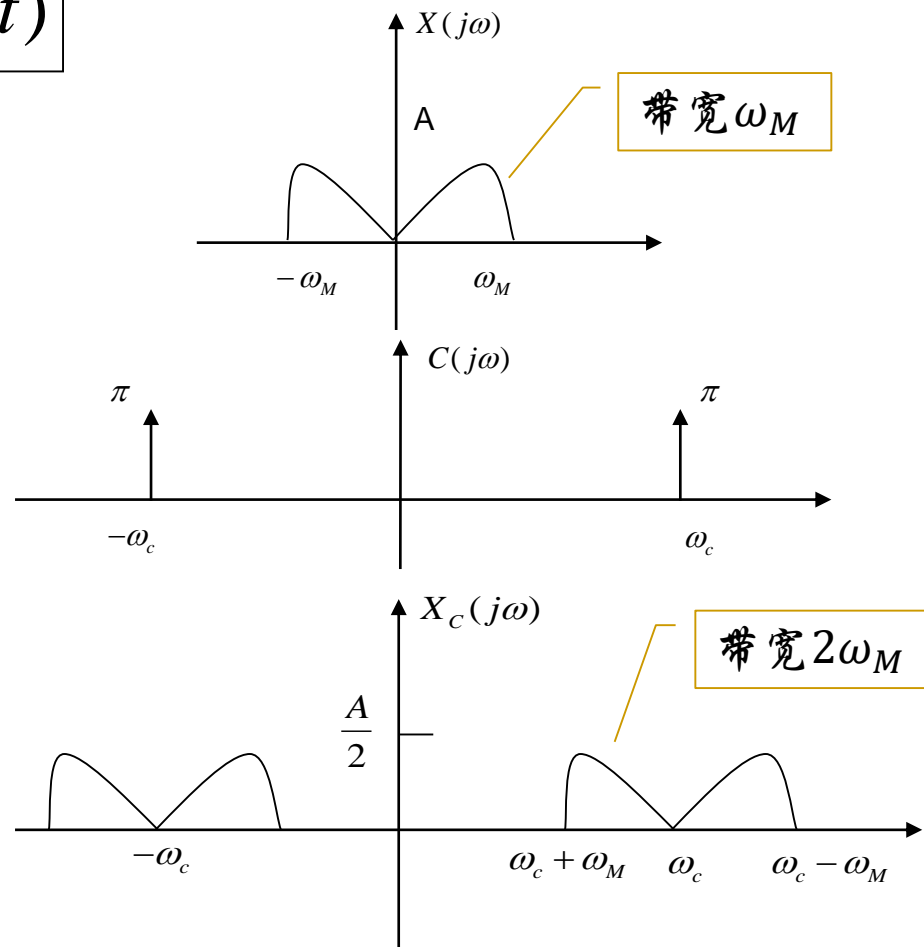
$$x_c(t) = x(t) \cdot c(t)$$

$$x(t) \leftrightarrow X(j\omega)$$

$$c(t) = \cos \omega_c t \leftrightarrow$$

$$C(j\omega) = \pi[\delta(\omega + \omega_c) + \delta(\omega - \omega_c)]$$

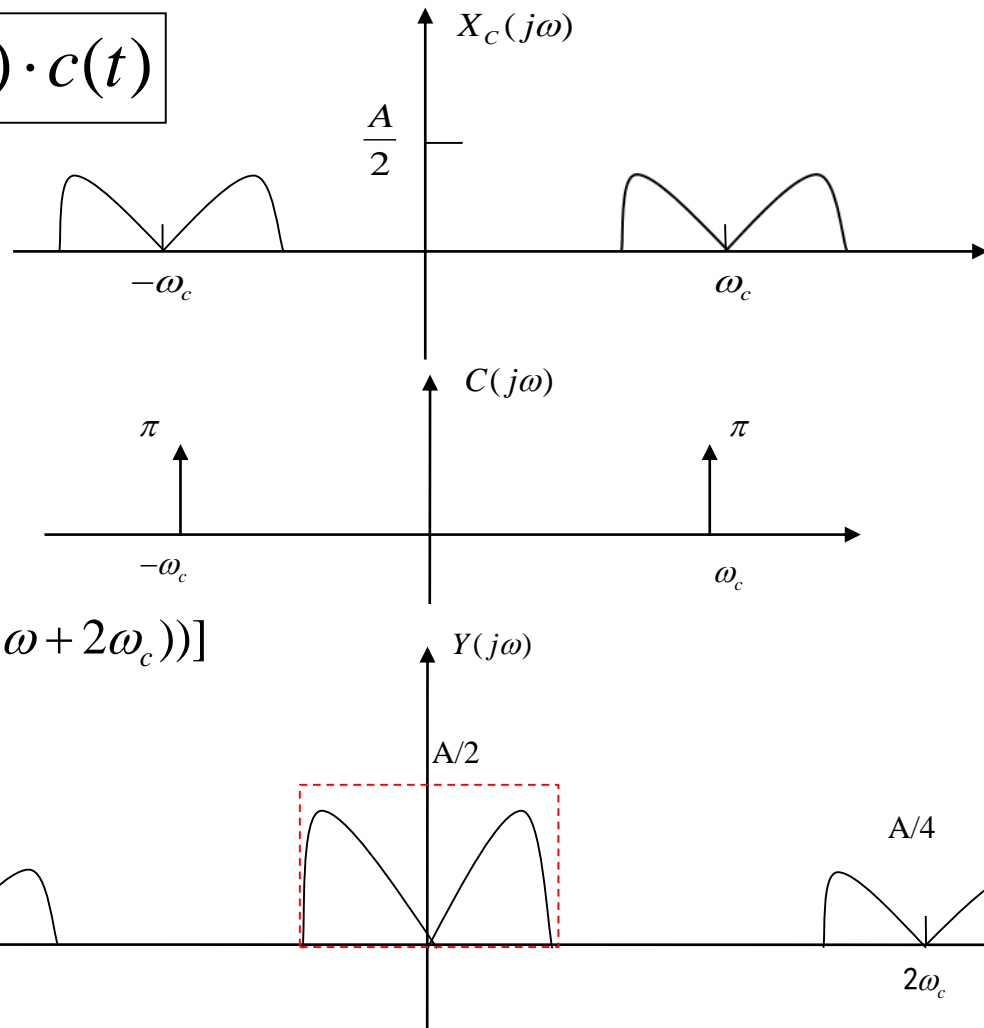
$$\begin{aligned} X_c(j\omega) &= \frac{1}{2\pi} [X(j\omega) * C(j\omega)] \\ &= \frac{1}{2} [X(j(\omega - \omega_c)) + X(j(\omega + \omega_c))] \end{aligned}$$



- Demodulation  $y(t) = x_c(t) \cdot c(t)$

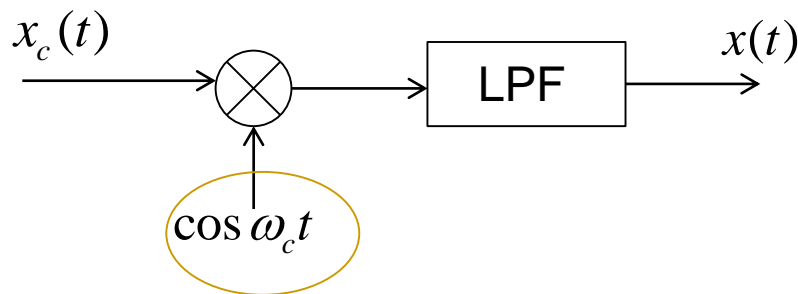
$$\begin{aligned}
 Y(j\omega) &= \frac{1}{2\pi} [X_c(j\omega) * C(j\omega)] \\
 &= \frac{1}{2} [X_c(j(\omega - \omega_c)) + X_c(j(\omega + \omega_c))] \\
 &= \frac{1}{2} X(j\omega) + \frac{1}{4} [X(j(\omega - 2\omega_c)) + X(j(\omega + 2\omega_c))]
 \end{aligned}$$

幅度调制和解调的过程就是频谱的“搬移”！  
——线性调制



接收端的载波必须和发送端同频同相!

——同步解调/相干解调 (**synchronous demodulation**)

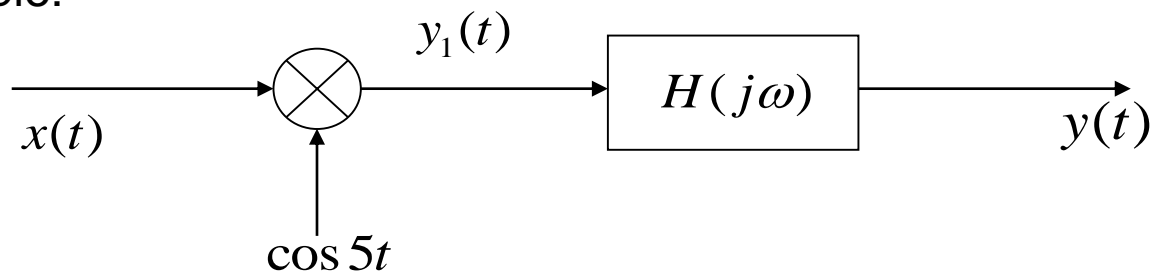


$$\begin{aligned} & x_c(t) \cdot \cos \omega_c t \\ &= x(t) \cos \omega_c t \cdot \cos \omega_c t \\ &= x(t) \left( \frac{1 + \cos 2\omega_c t}{2} \right) \\ &= \frac{1}{2} x(t) + \frac{1}{2} x(t) \cos 2\omega_c t \end{aligned}$$

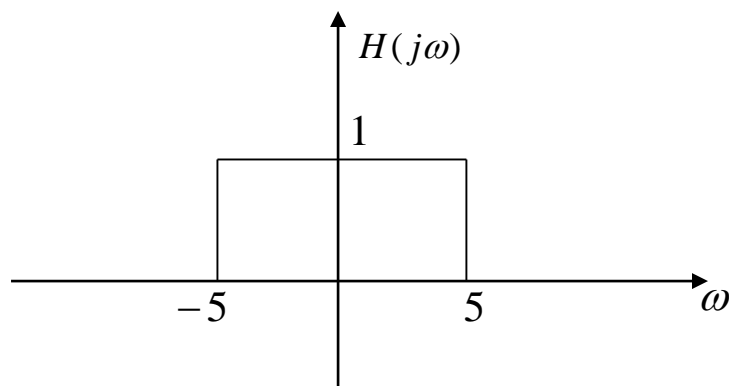


思考：当本地载波和发送端的载波存在相差，即本地载波为  $\cos[\omega_c t + \theta(t)]$  时，对解调的影响？

Example:



已知:  $x(t) = \frac{\sin 2t}{\pi t}$



求:  $y(t)$

Solution:

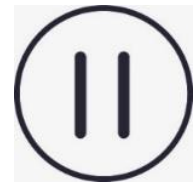
注：画频谱图！

$$y_1(t) = x(t) \cdot \cos(5t) \leftrightarrow$$

$$Y_1(j\omega) = \frac{1}{2}[X(j(\omega+5)) + X(j(\omega-5))]$$

$$Y(j\omega) = Y_1(j\omega) \cdot H(j\omega) \leftrightarrow ?$$

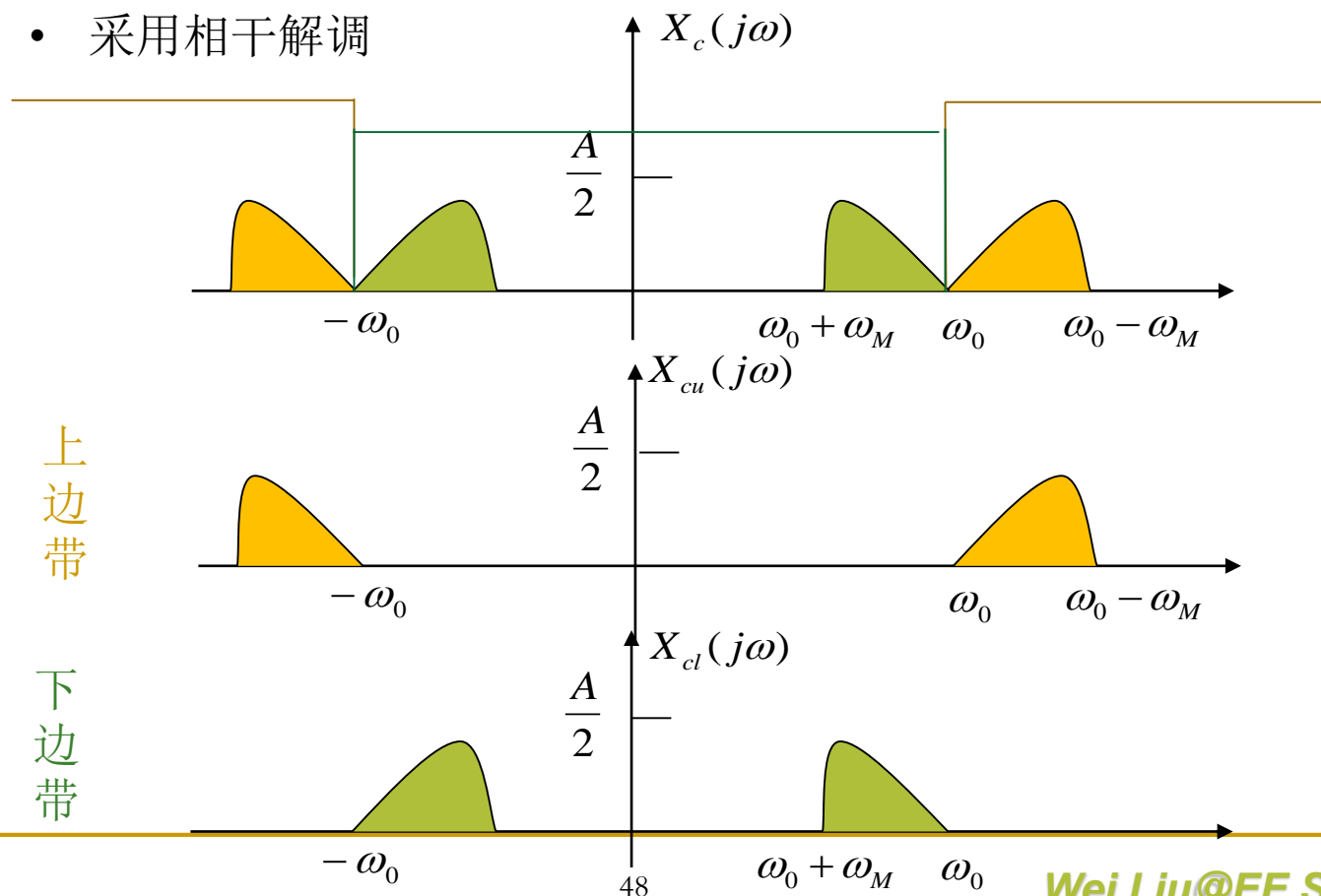
$$y(t) = \frac{\sin t}{\pi t} \cdot \cos(4t)$$



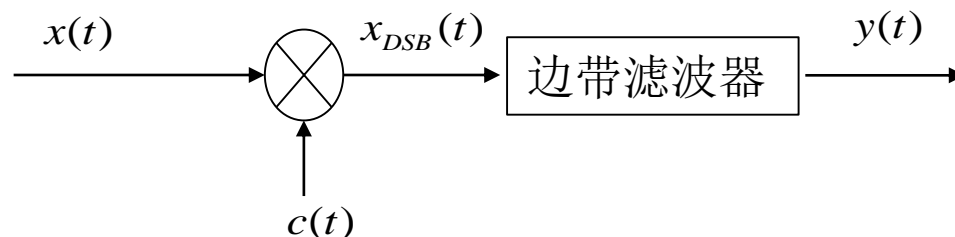
其它幅度调制:

### ■ 单边带(SSB)调制 —single-sideband sinusoidal amplitude modulation

- 所需传输带宽为DSB调制的一半
- 采用相干解调

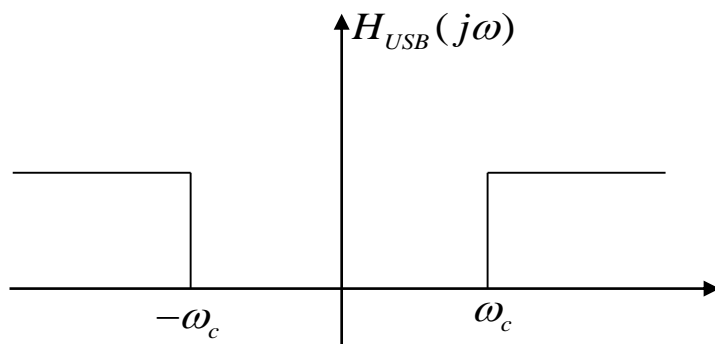


### SSB调制原理图①



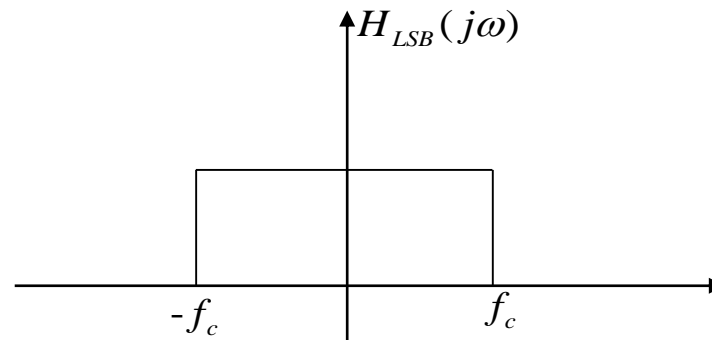
$$Y(j\omega) = X_{DSB}(j\omega) \cdot H_{SSB}(j\omega)$$

上边带滤波器



$$H_{USB}(j\omega) = \begin{cases} 1 & |\omega| > \omega_c \\ 0 & |\omega| \leq \omega_c \end{cases}$$

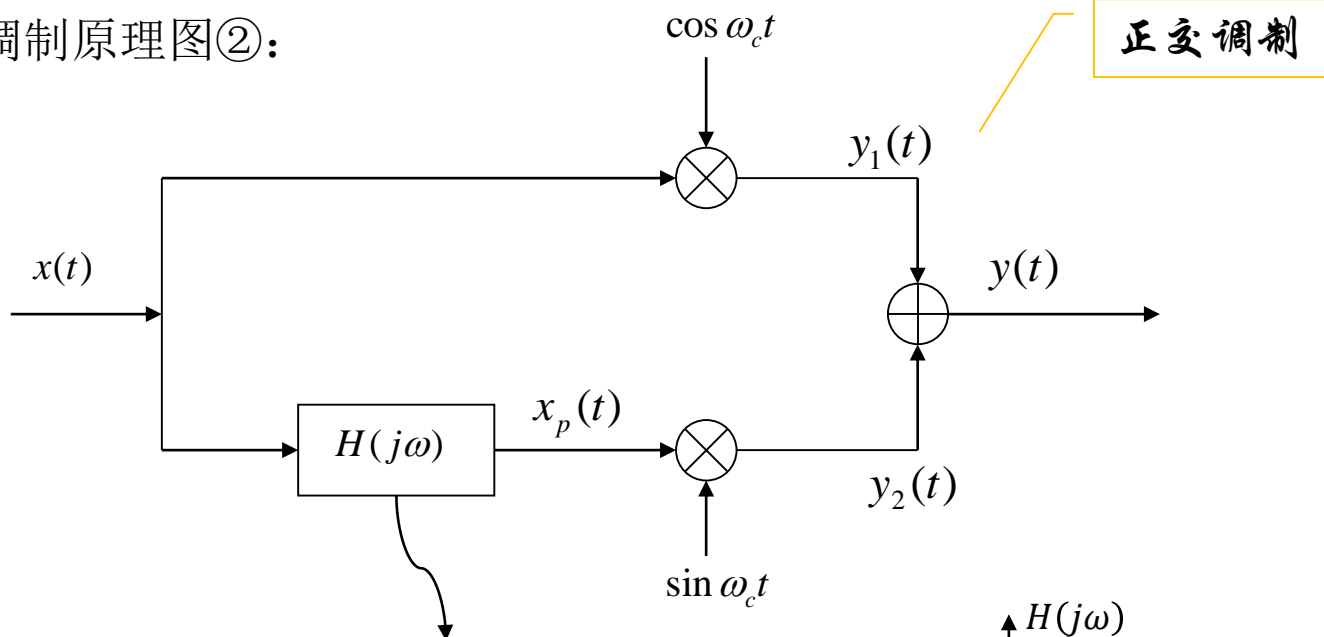
下边带滤波器



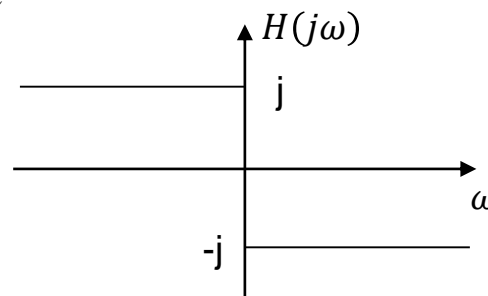
$$H_{LSB}(j\omega) = \begin{cases} 1 & |\omega| \leq \omega_c \\ 0 & |\omega| > \omega_c \end{cases}$$



SSB调制原理图②:



$$H(j\omega) = \begin{cases} -j, & \omega > 0 \\ +j, & \omega < 0 \end{cases}$$

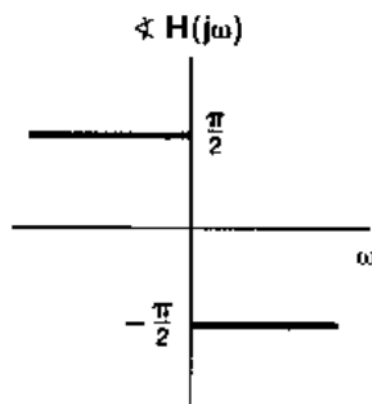
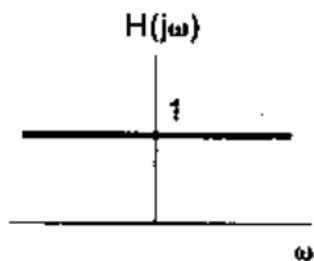


$$y(t) = x(t) \cos(\omega_0 t) \pm x_p(t) \sin(\omega_0 t)$$

关于Hilbert变换器:

$$H(j\omega) = \begin{cases} -j, & \omega > 0 \\ +j, & \omega < 0 \end{cases} = -j \operatorname{sgn}(\omega) \longleftrightarrow h(t) = \frac{1}{\pi t}$$

$$x_p(t) = x(t) * h(t) = \int \frac{x(\tau)}{\pi(t - \tau)} d\tau \quad \text{—Hilbert变换}$$

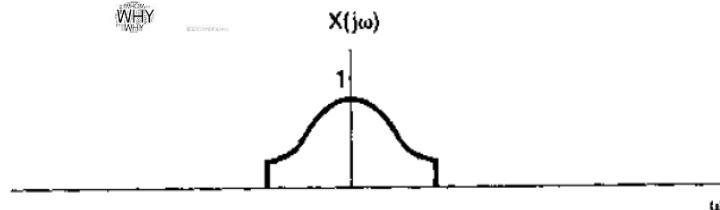


注: Hilbert变换器是一个“ $90^\circ$  移相网络”

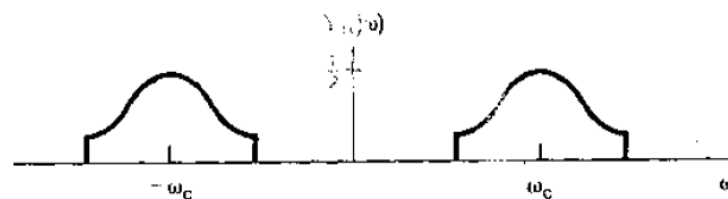


原理图②为什么可以实现SSB调制？

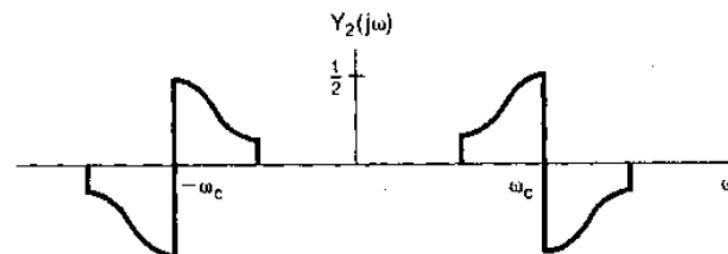
$$x(t) \leftrightarrow$$



$$x(t) \cdot \cos(\omega_c t) \leftrightarrow$$

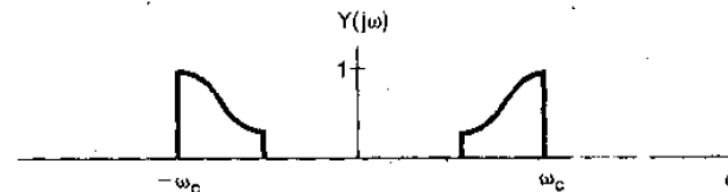


$$x_p(t) \cdot \sin(\omega_c t) \leftrightarrow$$



$$x(t) \cdot \cos(\omega_c t)$$

$$+ x_p(t) \cdot \sin(\omega_c t) \leftrightarrow$$

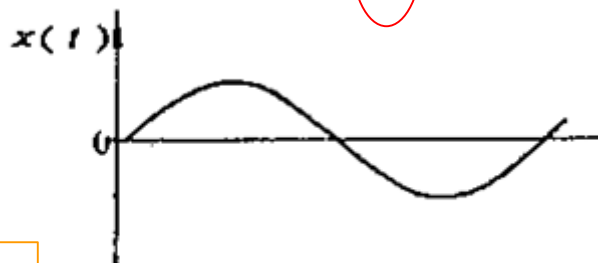


SSB调制图例

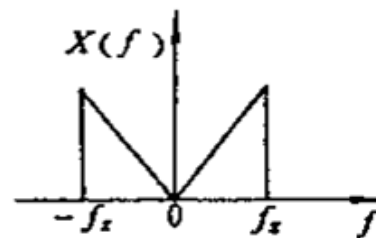
### ■ 振幅调制(AM) —sinusoidal amplitude modulation

- 所需传输带宽与DSB调制相同
- 可采用非相干解调 (asynchronous demodulation)

$$x_c(t) = [A_0 + x(t)] \cos \omega_c t = x(t) \cos \omega_c t + A_0 \cos \omega_c t$$

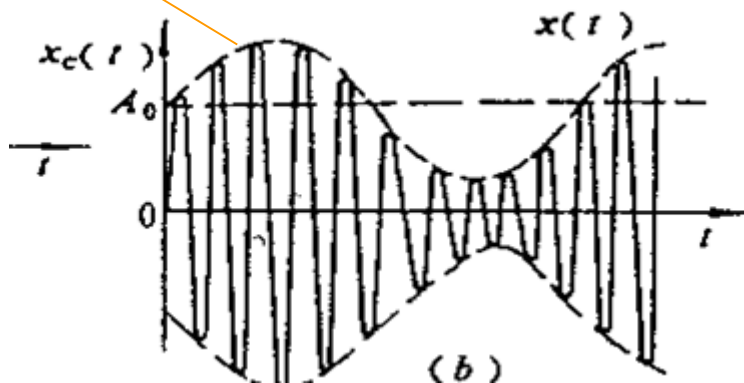


(a)

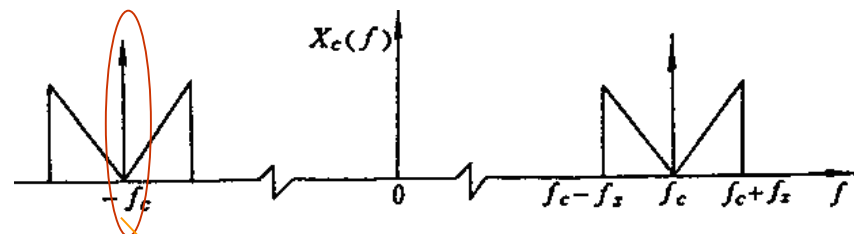


(d)

包络

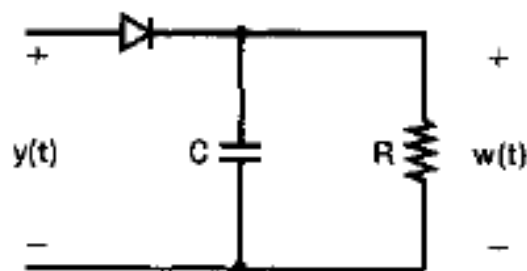


(b)



载波分量

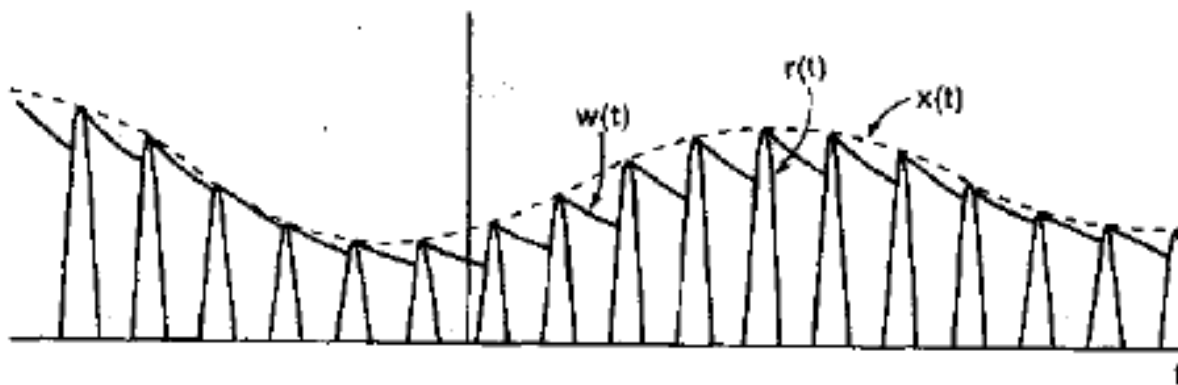
附：包络检波



(a)

采用包络检波的条件：

- 调制系数  $m = \frac{|x(t)|_{max}}{A_0} \leq 1$
- $x(t)$  的变化远慢于  $\omega_c$

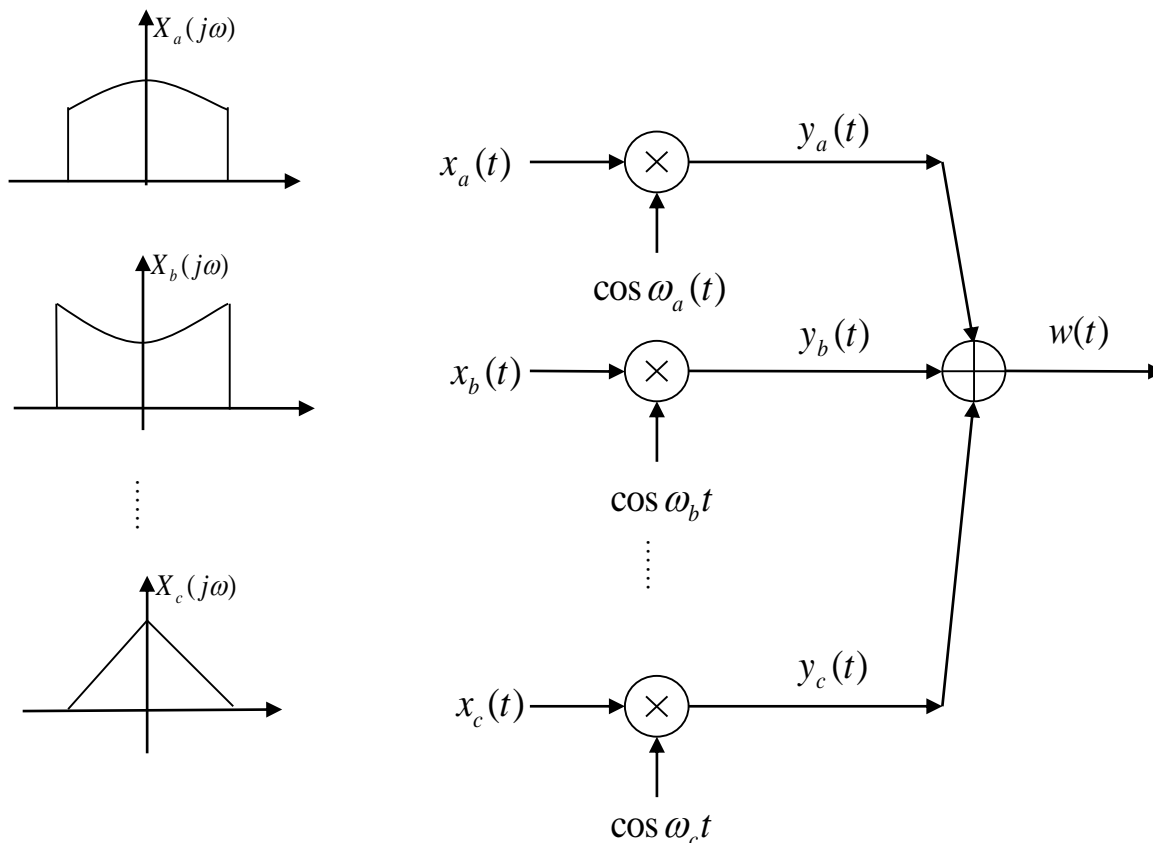


(b)

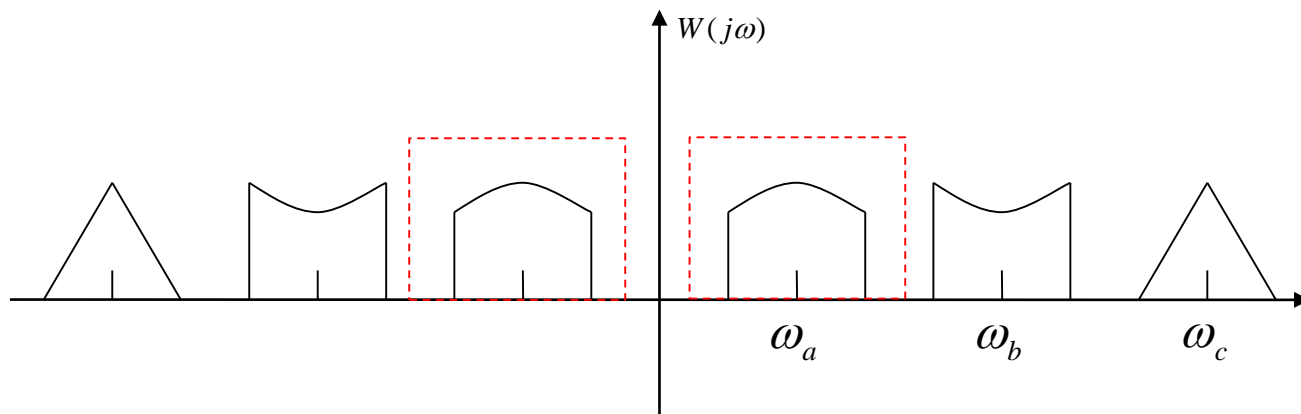
### ■ 频分多路复用(FDM— Frequency-Division Multiplexing)

——传输信号的信道带宽 $\gg$ 一路信号的传输带宽时，可在同一信道上同时传输多路信号。此时需将各路信号搬到不同的载波频率上，使其频谱不重叠。

- 发端：



- 收端：先用中心频率不同的BPF分离各路信号，再分别解调。



例：

- 话音通信中的PSTN（公用电话交换网）
- 由CATV网演变而来的HFC（混合光纤同轴电缆）网

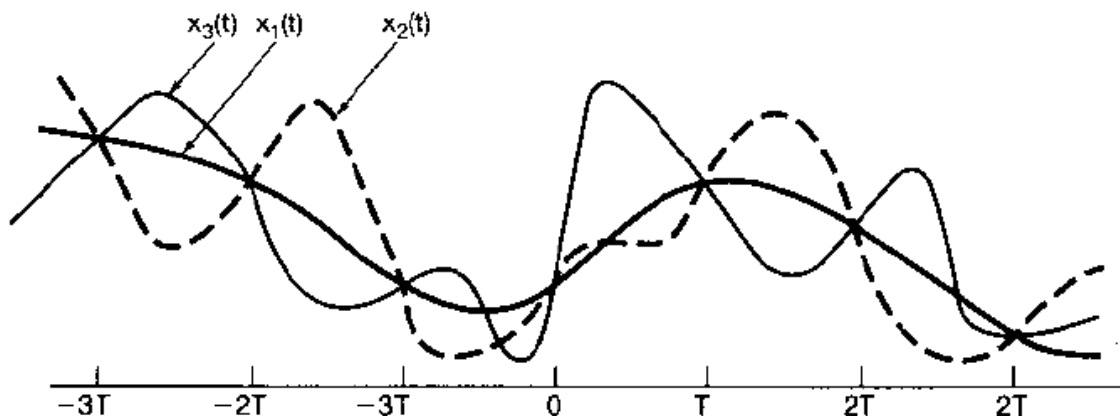
传统的FDM需要在相邻载波间设置保护频带，现在的正交频分复用（OFDM-Orthogonal FDM）是FDM的改进，其各子载波相互正交，子载波的频谱可以相互重叠，从而提高频谱的利用率。

### 4.5 Frequency-Domain Analysis of LTI System

- Frequency Response
- Filtering
- Modulating
- **Sampling**



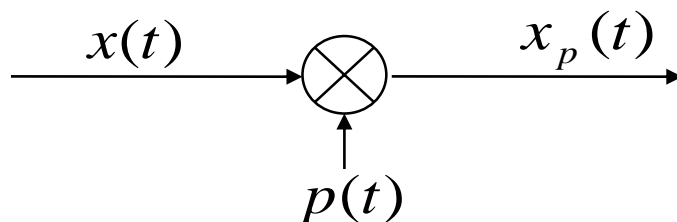
随着数字技术的发展，需要通过采样，将连续时间信号转换为离散时间信号，经过离散时间系统处理后，再转换回连续时间信号。



注：图中 $x_1(t)$ 、 $x_2(t)$ 和 $x_3(t)$ 在 $T$ 的整数倍上具有相同的值！

在什么条件下，连续时间信号可用其在等时间间隔的样本表示，并可用这些样本将该信号恢复出来？

### ■ 采样(Sampling)



$x(t)$  —模拟信号,

当 $|\omega| > \omega_m$ 时,  $X(j\omega) = 0$  —带限信号(band-limited signal)

$p(t)$  —取样函数(sampling function)

$p(t)$ 为周期信号,  $T_s$ 称为取样周期,  $\omega_s = \frac{2\pi}{T_s}$ 称为取样频率

$$\because x_p(t) = x(t) \cdot p(t)$$

$$\therefore X_p(j\omega) \leftrightarrow \frac{1}{2\pi} [X(j\omega) * P(j\omega)]$$

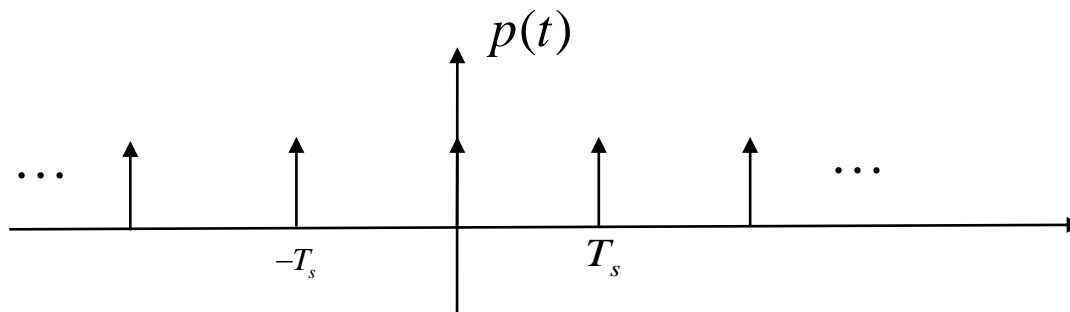
$$\text{又 } P(j\omega) = 2\pi \sum P_k \delta(\omega - k\omega_s)$$

其中， $P_k$ 为傅立叶级数的系数，则

$$X_p(j\omega) = \sum_{k=-\infty}^{\infty} P_k X[j(\omega - k\omega_s)]$$

注： $X_p(j\omega)$ 是 $X(j\omega)$ 的周期拓展，且拓展后的频谱幅度被 $P_k$ 加权

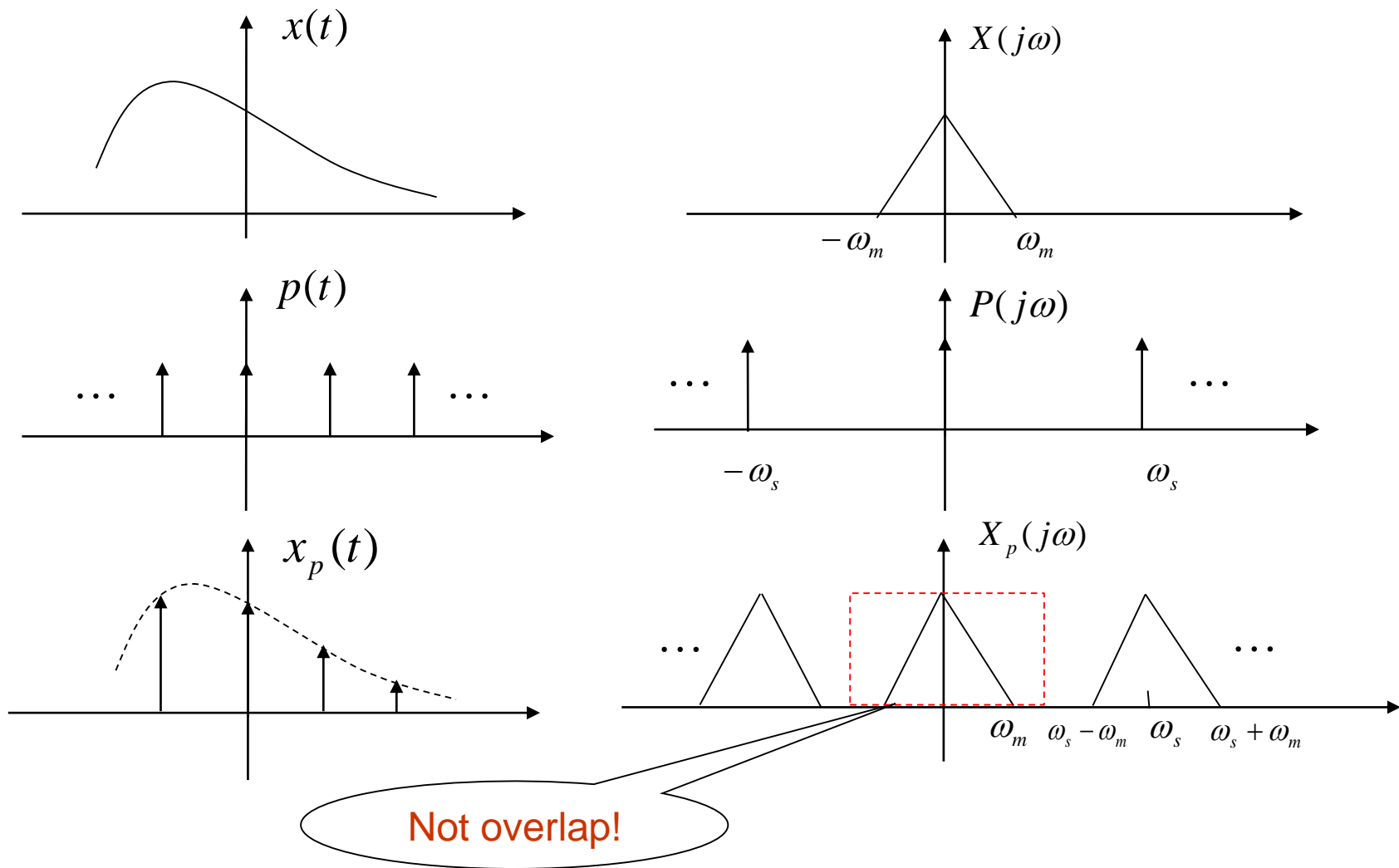
### ①冲激串取样



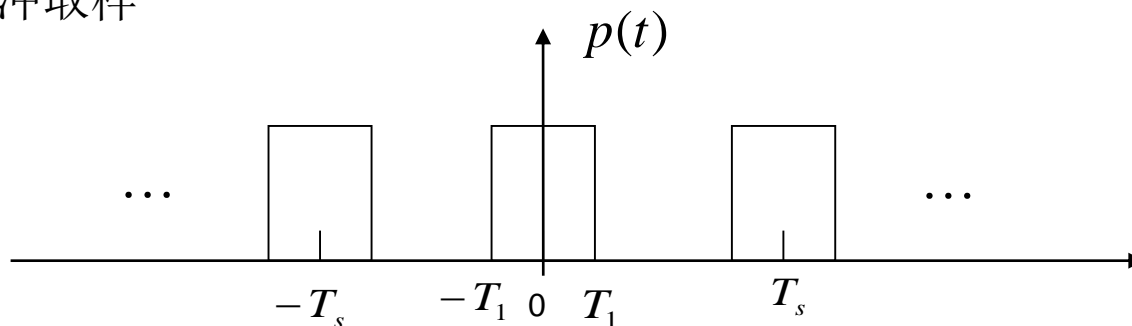
$$\because p(t) = \sum_{n=-\infty}^{\infty} \delta(t - nT_s) \Rightarrow P_k = \frac{1}{T_s}$$

$$\therefore X_p(j\omega) = \frac{1}{T_s} \sum_k X[j(\omega - k\omega_s)]$$

注：  $X_p(j\omega)$  是  $X(j\omega)$  做等幅的周期拓展



### ②矩形脉冲取样



$$\therefore P_k = \frac{1}{T_s} \cdot \frac{2 \sin \omega T_1}{\omega} \Big|_{\omega=k\omega_s} = \frac{2T_1}{T_s} \cdot Sa(k\omega_s T_1)$$

$$\therefore X_p(j\omega) = \frac{2T_1}{T_s} \sum_k Sa(k\omega_s T_1) X[j(\omega - k\omega_s)]$$

注：  $X_p(j\omega)$  的包络按  $Sa(\cdot)$  改变

## Signal and System

*Sampling Theorem:*

*Let us be a band – limited signal with  $X(j\omega) = 0$  for  $|\omega| > \omega_m$ . Then  $x(t)$  is uniquely determined by its samples  $x(nT_s)$ ,  $n = 0, \pm 1, \pm 2, \dots$ , if*

$$\omega_s > 2\omega_m$$

where  $\omega_s = \frac{2\pi}{T_s}$

Nyquist rate

*Given these samples, we can reconstruct  $x(t)$  by generating a periodic impulse train in which successive impulse have amplitudes that are successive sample values. This impulse train is then processed through an ideal lowpass filter with gain  $T$  and cutoff frequency  $\omega_c$ . if*

$$\omega_s - \omega_m > \omega_c > \omega_m$$

*the resulting output signal will exactly equal  $x(t)$ .*

Example:

Consider a band – limited signal  $x(t)$  with  $X(j\omega) = 0$  for  $|\omega| > \omega_m$ .

Determine the Nyquist rate for the following signals:

1)  $2x(t) + 1$

$$\omega_s > 2\omega_m$$

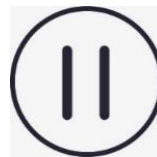
2)  $x^2(t)$



$$\omega_s > 4\omega_m$$

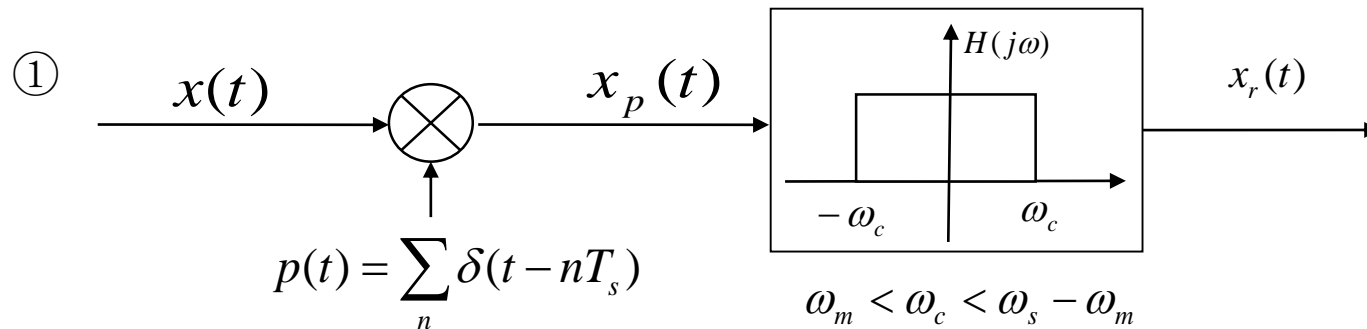
3)  $\frac{dx(t)}{dt}$

$$\omega_s > 2\omega_m$$





### ■ 重建(Reconstruction)

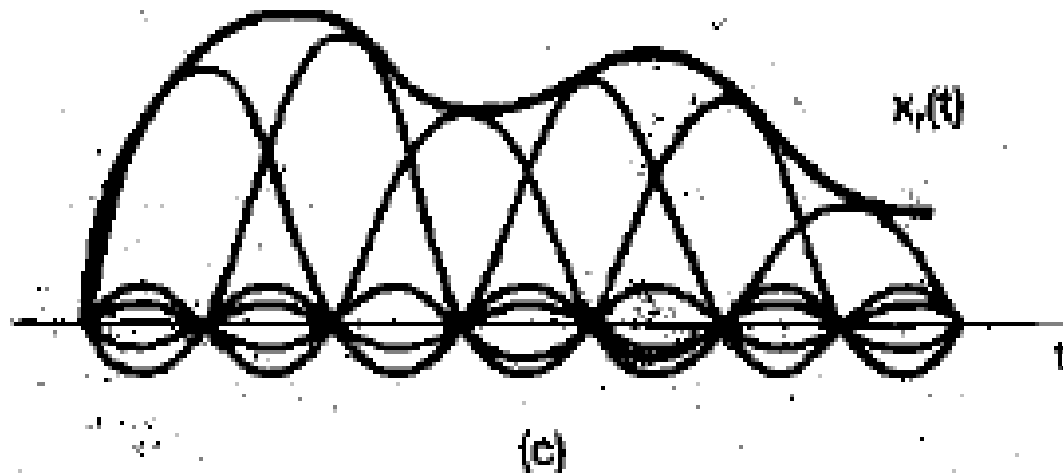


$$\because x_r(t) = x_p(t) * h(t)$$

$$\text{and } x_p(t) = x(t) \cdot \sum_n \delta(t - nT_s) = \sum_n x(nT_s) \delta(t - nT_s)$$

$$h(t) = \mathfrak{F}^{-1}\{H(j\omega)\} = \frac{\sin \omega_c t}{\pi t} = \frac{\omega_c}{\pi} S_a(\omega_c t)$$

$$\begin{aligned}\therefore x_r(t) &= \sum_n x(nT_s) \cdot \delta(t - nT_s) * \frac{\omega_c}{\pi} \text{Sa}(\omega_c \tau) \\ &= \sum_n \frac{\omega_c}{\pi} x(nT_s) \cdot \text{Sa}[\omega_c(t - nT_s)]\end{aligned}$$



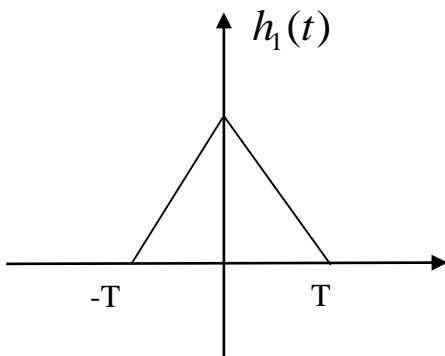
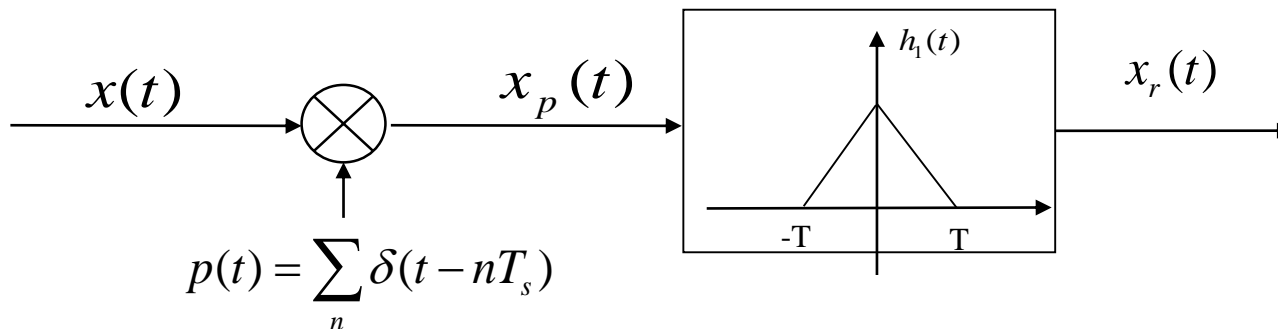
带限内插 / 高阶保持

### 内插 (Interpolation)

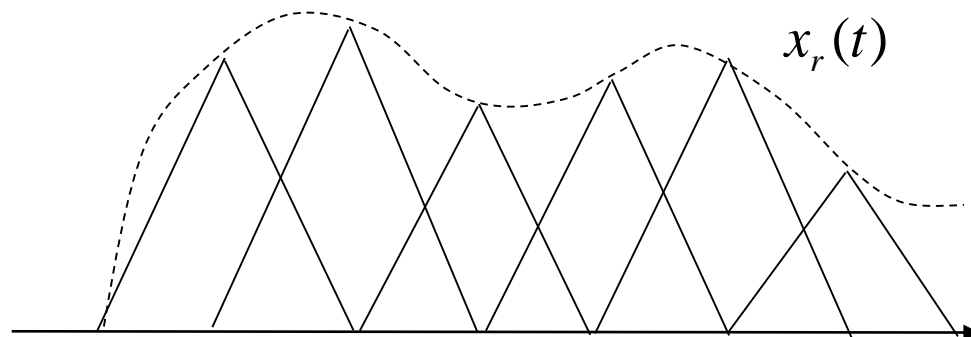
— 用连续信号对一组样本值拟合

- 带限内插(band-limited interpolation) / 高阶保持
- 线性内插(linear interpolation) / 一阶保持
- 零阶保持

## ②线性内插/一阶保持

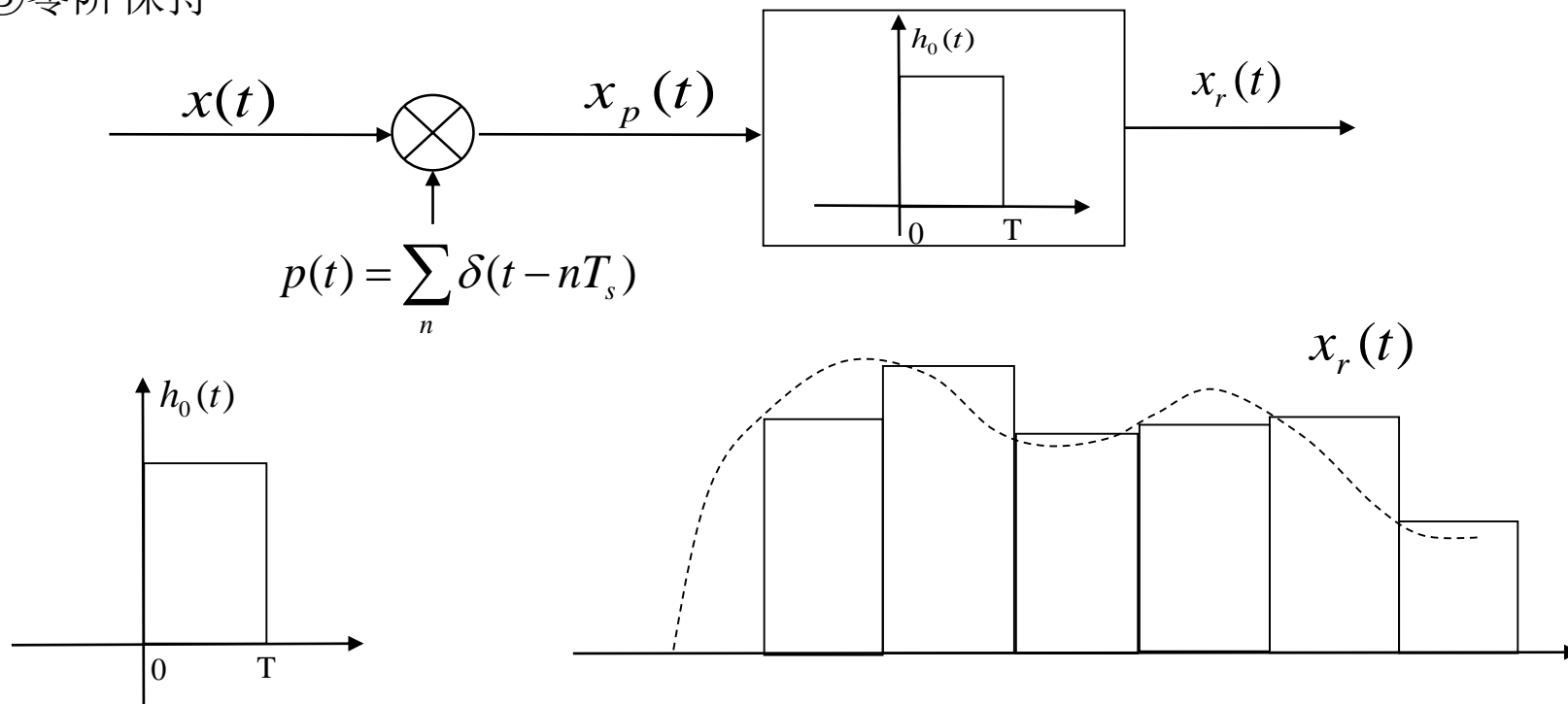


$$\Leftrightarrow H_1(j\omega) = \frac{1}{T} \left[ \frac{\sin(\omega T / 2)}{\omega / 2} \right]^2$$



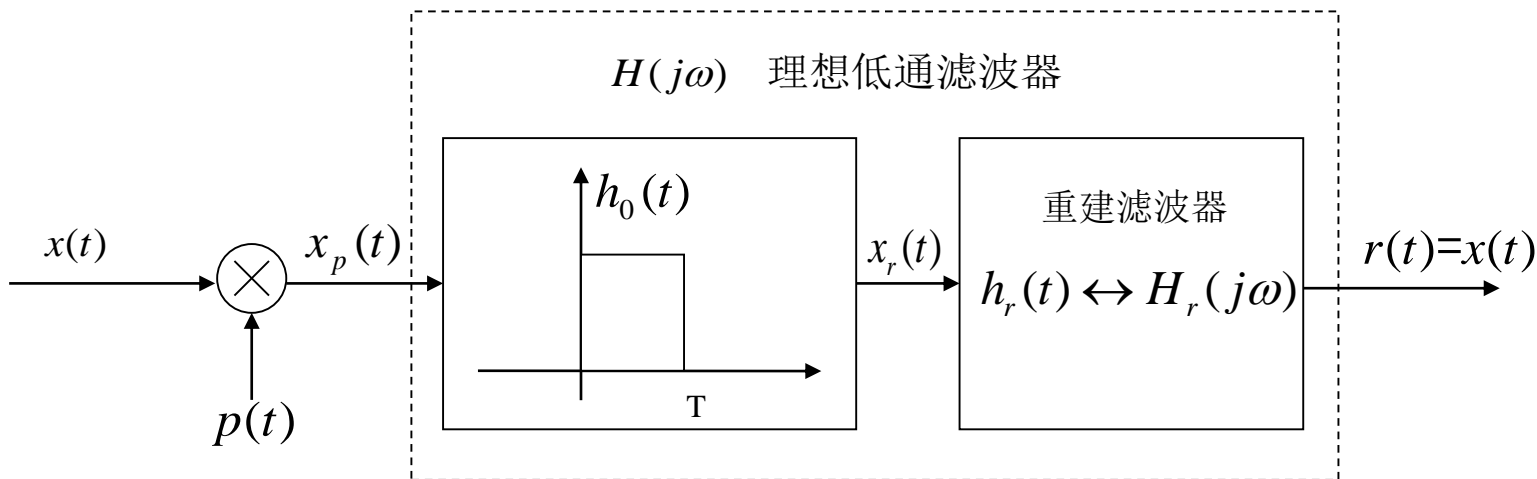
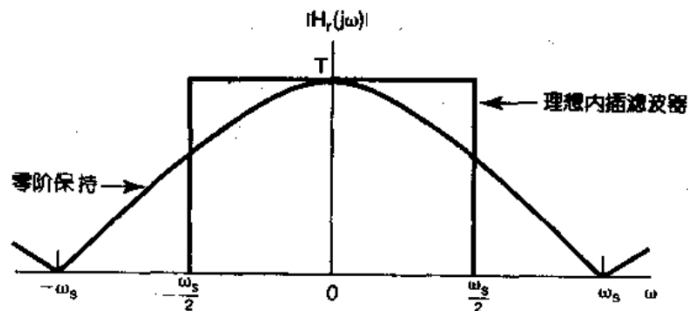
$$x_r(t) = \sum_n x(nT_s) \cdot h_1(t - nT_s)$$

## ③零阶保持



$$\leftrightarrow H_0(j\omega) = e^{-j\omega T/2} \left[ \frac{2 \sin(\omega T / 2)}{\omega} \right]$$

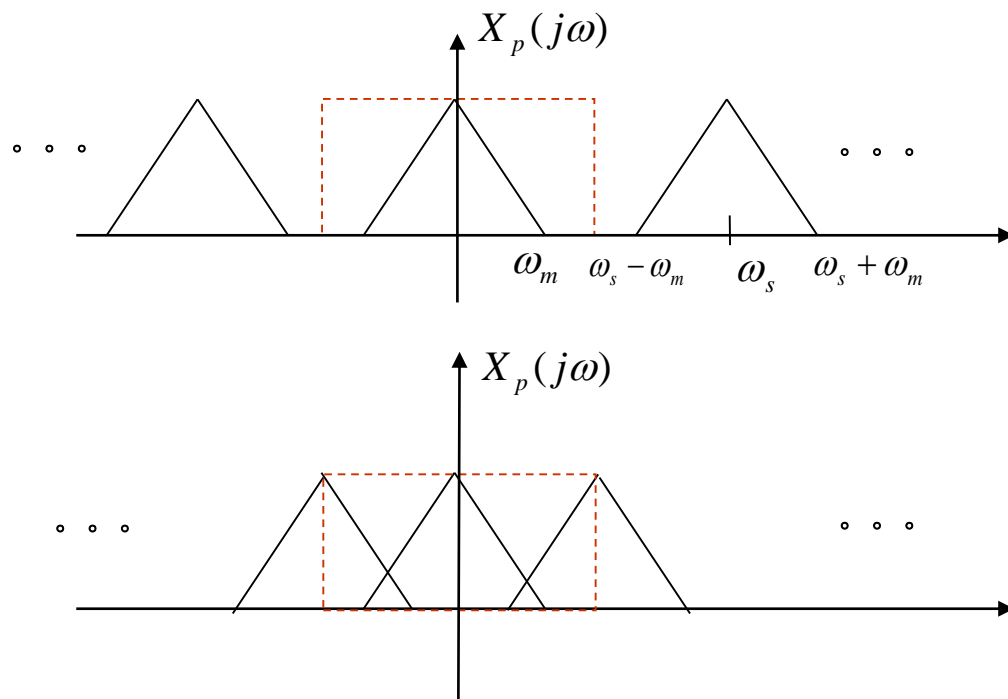
$$x_r(t) = \sum_n x(nT_s) \cdot h_0(t - nT_s)$$



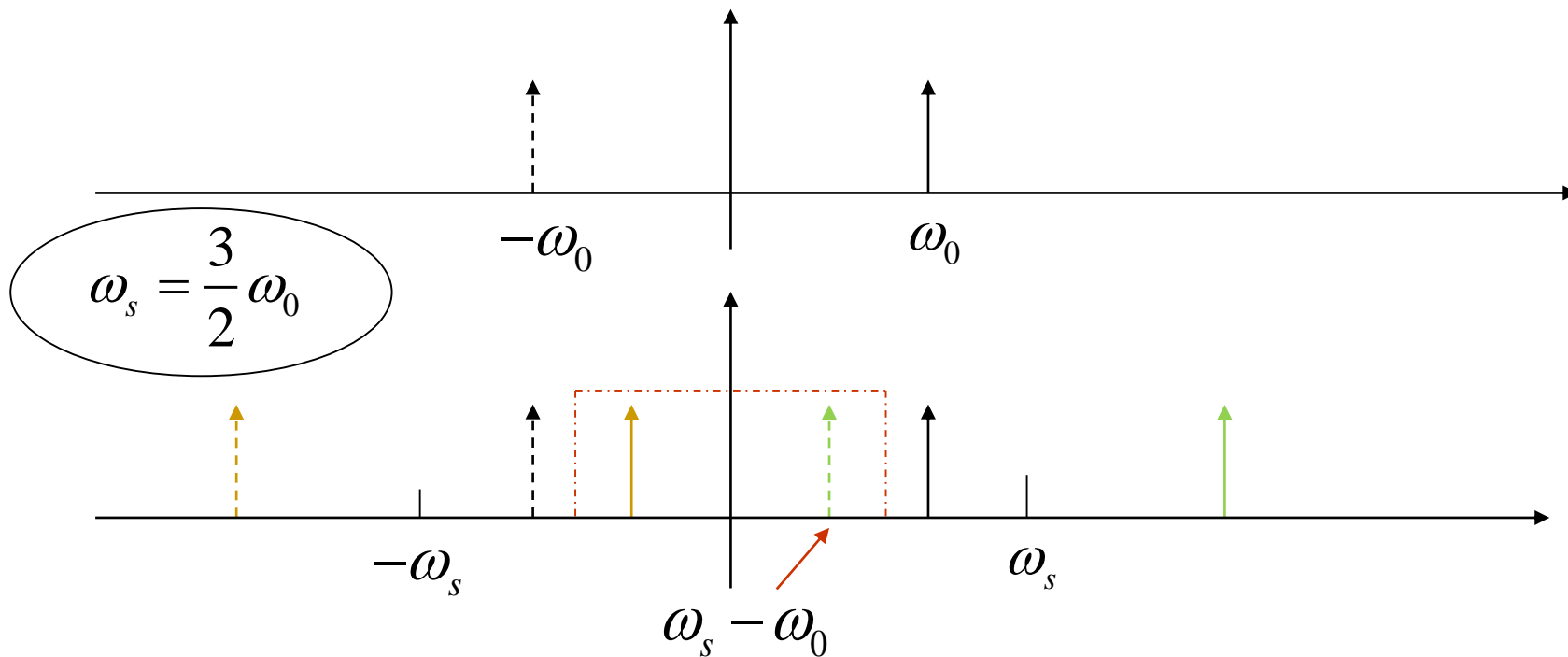
要使  $r(t)=x(t)$ , 须 
$$H_r(j\omega) = \frac{H(j\omega)}{H_0(j\omega)} = \frac{e^{j\omega \frac{T}{2}} \cdot H(j\omega)}{\frac{2 \sin(\omega T / 2)}{\omega}}$$

### ■ 欠采样

当 $\omega_s < 2\omega_m$ 时，取样后的频谱 $X_p(j\omega)$ 将不是模拟信号频谱 $X(j\omega)$ 的周期拓展，而是会发生频谱混叠 (Aliasing)



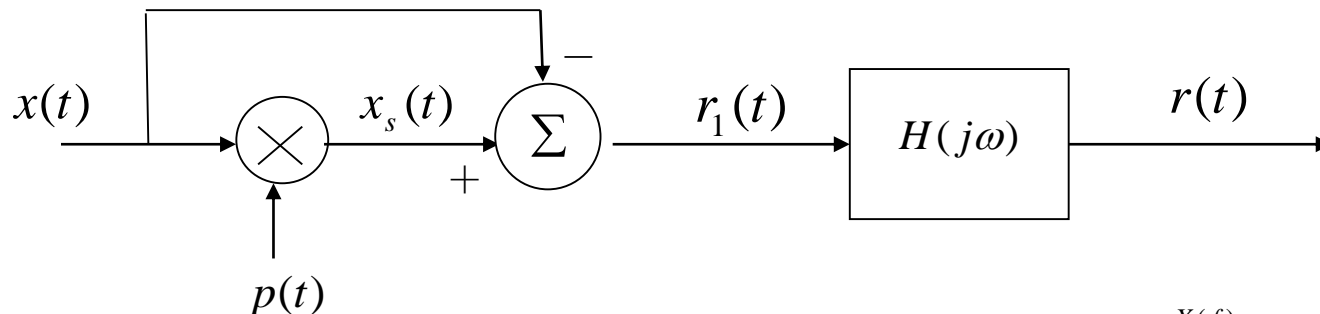
**Example:**  $x(t) = \cos \omega_0 t$



此时，频率为 $\omega_0$ 的信号被“混叠”成较低的频率 $\omega_s - \omega_0$ 。采用LPF恢复出的信号是 $x_r(t) = \cos[(\omega_s - \omega_0)t]$



Exercise:

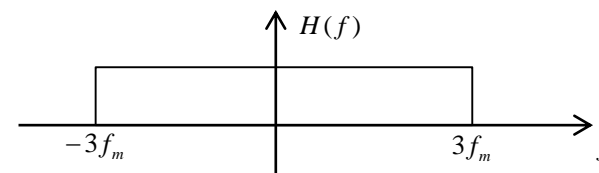
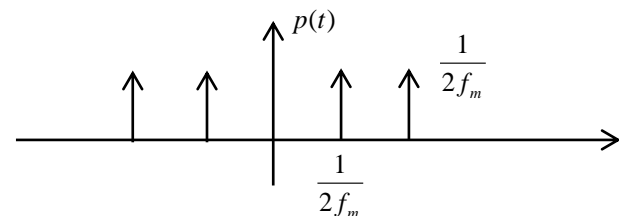
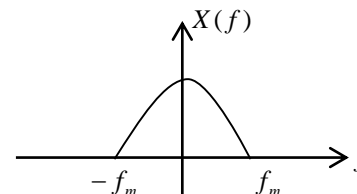


$x(t)$ 为带限实信号, 带宽为 $f_m$ ;

$p(t)$ 为周期冲激序列, 且周期 $T_s = \frac{1}{2f_m}$ ;

$H(j\omega)$ 为理想LPF, 且带宽 $B = 3f_m$ ;

求  $r(t) = ?$



### 4.0 Introduction

### 4.1 Fourier Series Representation of Periodic Signals

### 4.2 The Continuous-Time Fourier Transform

### 4.3 Properties of the Continuous-Time Fourier Transform

### 4.4 The Fourier Transform for Periodic Signals

### 4.5 Frequency-Domain Analysis of LTI System

### 4.6 System Characterized by Linear Constant-Coefficient Differential Equations

### ■ 微分方程与频率响应

$$\sum_{k=0}^N a_k \frac{d^k y(t)}{dt^k} = \sum_{k=0}^M b_k \frac{d^k x(t)}{dt^k}$$

根据微分特性，将方程两边作傅里叶变换得

$$H(j\omega) = \frac{Y(j\omega)}{X(j\omega)} = \frac{\sum_{k=0}^M b_k (j\omega)^k}{\sum_{k=0}^N a_k (j\omega)^k}$$

Example: 
$$\frac{d^2 y(t)}{dt^2} + 4\frac{dy(t)}{dt} + 3y(t) = \frac{dx(t)}{dt} + 2x(t)$$

$$(j\omega)^2 Y(j\omega) + 4(j\omega)Y(j\omega) + 3Y(j\omega) = (j\omega)X(j\omega) + 2X(j\omega)$$

$$H(j\omega) = \frac{j\omega + 2}{(j\omega)^2 + 4(j\omega) + 3}$$

注：根据方程两边的系数可直接写出系统的频率响应

### ■ 系统的零状态响应—部分分式展开法

Example:

$$H(j\omega) = \frac{j\omega + 2}{(j\omega)^2 + 4(j\omega) + 3} = \frac{j\omega + 2}{(j\omega + 1)(j\omega + 3)} = \frac{A_1}{j\omega + 1} + \frac{A_2}{j\omega + 3}$$

设  $j\omega = v$

$$\begin{aligned} \text{则 } A_1 &= (v + 1)H(v) \big|_{v=-1} = \frac{v + 2}{v + 3} \big|_{v=-1} = \frac{1}{2} \\ A_2 &= (v + 3)H(v) \big|_{v=-3} = \frac{v + 2}{v + 1} \big|_{v=-3} = \frac{1}{2} \end{aligned} \quad \therefore H(j\omega) = \frac{\frac{1}{2}}{j\omega + 1} + \frac{\frac{1}{2}}{j\omega + 3}$$

$$\text{又 } \frac{1}{\alpha + j\omega} \leftrightarrow e^{-\alpha t} u(t) \quad \therefore h(t) = \frac{1}{2} e^{-t} u(t) + \frac{1}{2} e^{-3t} u(t)$$

Example: 设  $x(t) = e^{-t}u(t)$ , 对上例的  $H(j\omega)$ , 求系统的  $y_{zs}(t)$

$$Y(j\omega) = H(j\omega)X(j\omega) = \frac{j\omega + 2}{(j\omega + 1)^2(j\omega + 3)} = \frac{A_{11}}{j\omega + 1} + \frac{A_{12}}{(j\omega + 1)^2} + \frac{A_2}{j\omega + 3}$$

$$A_{11} = \frac{1}{(2-1)!} \frac{d}{dv} [(v+1)^2 Y(v)] \big|_{v=-1} = \frac{d}{dv} \left[ \frac{v+2}{v+3} \right] \big|_{v=-1} = \frac{1}{(v+3)^2} \big|_{v=-1} = \frac{1}{4}$$

$$A_{12} = (v+1)^2 Y(v) \big|_{v=-1} = \frac{1}{2} \quad \text{——多重极点}$$

$$A_2 = (v+3)Y(v) \big|_{v=-3} = \frac{v+2}{(v+1)^2} \big|_{v=-3} = -\frac{1}{4}$$

$$\therefore Y(j\omega) = \frac{\frac{1}{4}}{j\omega + 1} + \frac{\frac{1}{2}}{(j\omega + 1)^2} - \frac{\frac{1}{4}}{j\omega + 3}$$

$$\because e^{-\alpha t} u(t) \leftrightarrow \frac{1}{\alpha + j\omega}$$

$$te^{-\alpha t} u(t) \leftrightarrow j \cdot \frac{d}{d\omega} \left[ \frac{1}{\alpha + j\omega} \right] = \frac{1}{(\alpha + j\omega)^2}$$

$$\therefore y(t) = \left[ \frac{1}{4} e^{-t} + \frac{1}{2} te^{-t} - \frac{1}{4} e^{-3t} \right] u(t)$$

# Q & A



Homework Due:

<https://oc.sjtu.edu.cn/login/canvas>

